

در آخرین مرحله از رابطه  $\frac{d\Omega_{\mathbf{p}}}{V} = \frac{d\Omega_{\mathbf{p}}}{(2\pi\hbar)^3}$  (۵۴-۲۱) [www.arsanjan.blogfa.com](http://www.arsanjan.blogfa.com) انتگرال‌گیری روی حجمی در فضای تکانه صورت می‌گیرد که با آرایش تجربی مشخص می‌شود. اگر بنویسیم

$$d^3\mathbf{p} = d\Omega_{\mathbf{p}} p^3 dp = d\Omega_{\mathbf{p}} \left(\frac{\omega}{c}\right)^3 d\left(\frac{\omega}{c}\right) \hbar^3 \quad (54-21)$$

که در آن  $d\Omega_{\mathbf{p}}$  جزء زاویه فضایی است، می‌بینیم که روی تابع دلتایی که انرژی را پایسته می‌دارد انتگرال‌گرفته می‌شود، و نتیجه عبارت است از

$$\begin{aligned} R_{k \rightarrow m} &= \int \frac{4\pi^2 e^2}{m^2 \omega V} |\langle \phi_m | e^{i\mathbf{k} \cdot \mathbf{r}} \epsilon \cdot \mathbf{p} | \phi_k \rangle|^2 d\Omega_{\mathbf{p}} \frac{V}{(2\pi\hbar)^3} \\ &\times \hbar^3 \frac{\omega^3}{c^3} \frac{d(\hbar\omega)}{h} \delta(E_k^\circ - E_m^\circ - \hbar\omega) \quad (55-21) \\ &= \int d\Omega_{\mathbf{p}} \frac{\alpha}{2\pi} \omega_{km} \left| \frac{1}{mc} \langle \phi_m | e^{-i\mathbf{k} \cdot \mathbf{r}} \epsilon \cdot \mathbf{p} | \phi_k \rangle \right|^2 \end{aligned}$$

که در آن

$$\omega_{km} = \frac{E_k^\circ - E_m^\circ}{\hbar} \quad (56-21)$$

اگر دستگاه تجربی حالت‌های قطبیس فوتون را از هم تمیز ندهد، محاسبه آهنگ باید شامل یک جمع روی دو حالت نهایی مستقل باشد. به علاوه، اگر حالت‌های نهایی اتم و اگن باشند این جمع باید شامل تمام آنها باشد. درباره این مورد در یک بخش دیگر بحث خواهیم کرد.

فضای فاز

$$d^3\mathbf{n} = \frac{V d^3\mathbf{p}}{(2\pi\hbar)^3} \quad (57-21)$$

نهایا منحصر به فوتونها نیست. الکترون آزاد با تابع موج تخت  $e^{i\mathbf{p} \cdot \mathbf{r}/\hbar}$  (۱/۳) توصیف می‌شود و دارای همان چگالی حالتها است. تنها تفاوت در این است که رابطه میان انرژی (که در تابع دلتای ظاهر می‌شود) و تکانه به جای اینکه  $E = pc$  باشد به صورت  $E = \mathbf{p}^2/2m$  [یا به صورت نسبیتی  $E = (\mathbf{p}^2 c^2 + m^2 c^4)^{1/2}$ ] است.

اگر چند ذره آزاد در [arsanjan.blogfa.com](http://arsanjan.blogfa.com) به صورت حاصلضرب زیر است

$$\prod_k \frac{V d^r \mathbf{p}_k}{(2\pi\hbar)^r} \quad (58-21)$$

رابطه ۵۳-۲۱ در ترکیب با ۲۱-۲۱ به رابطه زیر تعمیم می‌یابد

$$R_{i \rightarrow j} = \frac{2\pi}{\hbar} \int \prod_k \frac{V d^r \mathbf{p}_k}{(2\pi\hbar)^r} |M_{fi}|^2 \delta \left( E_f^\circ + \sum_k E_k - E_i^\circ \right) \quad (59-21)$$

که در آن  $M_{fi}$  عنصر ماتریس اختلال بین حالت‌های اولیه و نهایی دستگاه نامختل است.تابع دلتا باز هم پایستگی انرژی را نشان می‌دهد: انرژی که ذرات آزاد همراه خود می‌برند برابر است با تغییر انرژی دستگاه؛ و انتگرال روی تکانه‌های مستقل گرفته می‌شود. برای مثال، اگر دستگاه به سه ذره واپیشد، تنها دو تکانه مستقل وجود دارند، زیرا تکانه سوم از پایستگی انرژی تعیین می‌شود. اما توجه کنید که ضرب عاملها در ۵۸-۲۱ روی تمام ذرات در حالت نهایی انجام می‌شود، یعنی اگر ۱۱ ذره در حالت نهایی وجود داشته باشند حاصلضرب شامل "۱" خواهد بود. همچنین می‌توان ۵۹-۲۱ را به صورت یک انتگرال روی تمام تکانه‌ها، با یک تابع دلتا که متضمن بیان پایستگی تکانه است، نوشت. دلیل اینکه چنین تابع دلتای در محاسبه ظاهر نمی‌شود این است که هسته اتم را در فضا ثابت گرفته‌ایم، که موجه است زیرا اتم از الکترونها بسیار سنگین‌تر است. در این شرایط، تکانه اتم یک متغیر دینامیکی نیست. در هر صورت، نتیجه کلی

$$R_{i \rightarrow f} = \frac{2\pi}{\hbar} \int \prod_k \frac{V d^r \mathbf{p}_k}{(2\pi\hbar)^r} \times |M_{fi}|^2 \delta \left( E_i^\circ - E_f^\circ - \sum E_k \right) \delta \left( \mathbf{p}_i - \mathbf{p}_f - \sum \mathbf{p}_k \right) \quad (60-21)$$

یک نتیجه اساسی است و می‌توان آن را به صورت زیر، که فرمی آن را قاعدة طلایی نامیده است، خلاصه کرد

$$R_{i \rightarrow f} = \frac{2\pi}{\hbar} |M_{fi}|^2 \rho(E) \quad (61-21)$$

که در آن  $(E)$  چگالی حالتها است.

توجه کنید که حجم جعبه همیشه حذف می‌شود. برای  $n$  ذره در حالت نهایی، یک  $V^n$  از چگالی حالتها (فضای فاز) و یک  $\sqrt{V}/1$  برای هر ذره آزاد در عنصر ماتریسی داریم، که از

$$\prod_k \frac{e^{i\mathbf{p}_k \cdot \mathbf{r}/\hbar}}{\sqrt{V}} \quad (62-21)$$

ناشی می شود. تعداد این عاملها  $n$  است، و در نتیجه وایستگی مجبور عنصر ماتریس به  $V$  با  $V^n$  از فضای فاز حذف می شود. در آینده باز هم از قاعدة طلایی استفاده خواهیم کرد، اما اکنون به محاسبه عنصر ماتریس برای گذار تابشی می پردازیم.

## عنصر ماتریس و قاعده های گزینش می خواهیم کمیت زیر را محاسبه کنیم

$$\langle \phi_m | e^{i\mathbf{k} \cdot \mathbf{r}} \epsilon \cdot \mathbf{p} | \phi_k \rangle \quad (63-21)$$

ابتدا مرتبه بزرگی آن را براورد می کنیم. برای یک گذار اتمی نوعی داریم

$$\epsilon \cdot \mathbf{p} \sim |\mathbf{p}| \sim Zmc\alpha \quad (64-21)$$

باید نما را نیز براورد کنیم، زیرا در اینجا یک عامل نوسانی داریم که می تواند نتیجه را به طور قابل ملاحظه ای تغییر دهد. با

$$r \sim \frac{\hbar}{mcZ\alpha} \quad (65-21)$$

و

$$|k| \sim \frac{\hbar\omega}{\hbar c} \sim \frac{\frac{1}{2}mc^2(Z\alpha)^2}{\hbar c} \sim \frac{mc}{2\hbar}(Z\alpha)^2 \quad (66-21)$$

به دست می آوریم

$$kr \sim \frac{1}{2}Z\alpha \quad (67-21)$$

در نتیجه، به ازای  $1 \ll \alpha \ll Z\alpha$  است، و از این‌رو

$$\begin{aligned} R_{k-m} &\sim 2\alpha\omega(Z\alpha)^r \sim \alpha(Z\alpha)^r \frac{mc^r(Z\alpha)^r}{\hbar} \\ &\sim \alpha(Z\alpha)^r \frac{mc^r}{\hbar} \sim 2 \times 10^{10} Z^r s^{-1} \end{aligned} \quad (68-21)$$

چون در بسط

$$e^{-i\mathbf{k} \cdot \mathbf{r}} = \sum_{n=0}^{\infty} \frac{(-i)^n}{n!} (\mathbf{k} \cdot \mathbf{r})^n \quad (69-21)$$

جمله‌های متوالی بنابه برآورد بالا به صورت  $Z\alpha$  کاهش می‌یابند محاسبه ساده می‌شود. بنابراین، تا مرتبه  $Z\alpha$  داریم

$$\langle \phi_m | e^{-i\mathbf{k} \cdot \mathbf{r}} \epsilon \cdot \mathbf{p} | \phi_k \rangle \simeq \langle \phi_m | \epsilon \cdot \mathbf{p} | \phi_k \rangle \quad (70-21)$$

این نتیجه را می‌توان به صورت زیر نوشت

$$\begin{aligned} \epsilon \cdot \langle \phi_m | \mathbf{p} | \phi_k \rangle &= m\epsilon \cdot \langle \phi_m | d\mathbf{r}/dt | \phi_k \rangle \\ &= \frac{im}{\hbar} \epsilon \cdot \langle \phi_m | [H, \mathbf{r}] | \phi_k \rangle \\ &= im \frac{(E_m^\circ - E_k^\circ)}{\hbar} \epsilon \cdot \langle \phi_m | \mathbf{r} | \phi_k \rangle \\ &= im\omega\epsilon \cdot \langle \phi_m | \mathbf{r} | \phi_k \rangle \end{aligned} \quad (71-21)$$

بدین ترتیب، با محاسبه عنصر ماتریس عملگر  $\mathbf{r}$  سروکار داریم، و این دلیلی است برای اینکه تقریب ۷۰-۲۱ را تقریب دوقطبی بنامیم. شایان تذکر است که در تقریب دوقطبی، اختلال ۲۵-۲۱، یعنی

$$\lambda V(t) = \frac{e}{mc} \mathbf{A}(\mathbf{r}, t) \cdot \mathbf{p}$$

را می‌توان با استفاده از ۳۲-۲۱ و ۷۱-۲۱ به صورت زیر نوشت

$$\lambda V(t) = e\mathbf{E}(\mathbf{r}, t) \cdot \mathbf{r} \quad (72-21)$$

که در واقع از زی پتانسیل برهمکنشی یک دوقطبی یا گشتاور  $\mathbf{d} = -er$  در میدان الکتریکی است. [www.arsanjah.blogfa.com](http://www.arsanjah.blogfa.com)

اگر  $\phi_k$  یک حالت اولیه هیدروژنگونه باشد که با اعداد کوانتومی  $n_i, m_i, l_i$  و  $n_f, m_f, l_f$  باشد، آنچه باید محاسبه کرد عبارت است از

$$\begin{aligned} \langle \phi_m | \epsilon \cdot \mathbf{r} | \phi_k \rangle &= \int_0^\infty r^4 dr \int d\Omega R_{n_f l_f}^*(r) Y_{l_f m_f}^*(\theta, \phi) \epsilon \cdot \mathbf{r} R_{n_i l_i}(r) Y_{l_i m_i}(\theta, \phi) \\ &= \int_0^\infty r^4 dr R_{n_f l_f}^*(r) r R_{n_i l_i}(r) \\ &\quad \times \int d\Omega Y_{l_f l_f}^*(\theta, \phi) \epsilon \cdot \hat{\mathbf{r}} Y_{l_i m_i}(\theta, \phi) \end{aligned} \quad (73-21)$$

درباره انتگرال شعاعی برای یک مورد خاص در بخش بعد بحث خواهیم کرد. در اینجا انتگرال زاویه‌ای را بررسی می‌کنیم. داریم

$$\epsilon \cdot \hat{\mathbf{r}} = \epsilon_x \sin \theta \cos \phi + \epsilon_y \sin \theta \sin \phi + \epsilon_z \cos \theta$$

با توجه به اینکه

$$\sqrt{\frac{3}{4\pi}} Y_{1,0}(\theta, \phi) = \cos \theta \quad \sqrt{\frac{3}{8\pi}} Y_{1,\pm 1}(\theta, \phi) = \mp \sin \theta e^{\pm i\phi} \quad (74-21)$$

به دست می‌آوریم

$$\epsilon \cdot \hat{\mathbf{r}} = \sqrt{\frac{4\pi}{3}} \left( \epsilon_z Y_{1,0} + \frac{-\epsilon_x + i\epsilon_y}{\sqrt{2}} Y_{1,1} + \frac{\epsilon_x + i\epsilon_y}{\sqrt{2}} Y_{1,-1} \right) \quad (75-21)$$

بنابراین، انتگرال زاویه‌ای در ۷۳-۲۱ به صورت زیر در می‌آید

$$\int d\Omega Y_{l_f m_f}^*(\theta, \phi) Y_{1,m}(\theta, \phi) Y_{l_i m_i}(\theta, \phi) \quad (76-21)$$

ابتدا روی زاویه سمتی انتگرال می‌گیریم:

$$\int_0^{2\pi} d\phi e^{-im_f \phi} e^{im \phi} e^{im_i \phi} = 2\pi \delta_{m, m_f - m_i} \quad (77-21)$$

$$m_f - m_i = m = 1, 0, -1 \quad (78-21)$$

این قاعده گزینشی است که در بحث اثر زیمان مذکور شدیم. مخصوصاً، اگر محور  $\hat{z}$  را در راستای تکانه فوتون  $k$  بگیریم آنگاه شرط ۳۸-۲۱ ایجاب می‌کند که  $m = \pm 1$  و در نتیجه  $\epsilon_z = \epsilon_x + i\epsilon_y$  به دست می‌آید. بنابراین،

$$m_f - m_i = \pm 1 \quad (79-21)$$

به عنوان یک مورد خاص، مذکور می‌شویم که اگر حالت نهایی یک حالت پایه با  $m_f = m_i = 0$  باشد آنگاه  $m = -m$ . برای مثال، اگر  $m_i = 1$  آنگاه  $m = -1$  و در نتیجه بردار قطبش فوتون عبارت است از  $\sqrt{2}(\epsilon_x + i\epsilon_y)$ . مضمون این نتیجه این است که اگر اتم در حالت اولیه  $m_i = 1$  در راستای محور  $\hat{z}$  قطبیده باشد، آنگاه در یک واپاشی به حالتی با تکانه زاویه‌ای صفر پایستگی مؤلفه  $\hat{z}$  تکانه زاویه‌ای ایجاب می‌کند که فوتون حامل این مقدار باشد. بنابراین، اسپین فوتون باید در جهت مثبت محور  $\hat{z}$  باشد، یعنی باید پیچیدگی مثبت  $(+)$  داشته باشد، یا، معادل آن، باید قطبش دایره‌ای چیگردد داشته باشد. این درست همان چیزی است که جمله  $(\epsilon_x + i\epsilon_y)/\sqrt{2}$  نشان می‌دهد.

از انتگرال‌گیری روی  $\theta$  قاعده گزینش دیگری به دست می‌آید. ابتدا مورد خاص  $m_f = l$  را در نظر می‌گیریم. چون  $Y_l = 1/\sqrt{4\pi}$ ، انتگرال‌گیری زاویه‌ای ۷۶-۲۱ به صورت زیر در می‌آید

$$\frac{1}{\sqrt{4\pi}} \int d\Omega Y_{l,m}(\theta, \phi) Y_{l,m_i}(\theta, \phi) = \frac{1}{\sqrt{4\pi}} \delta_{l_i, l} \delta_{m_i, -m} \quad (80-21)$$

که نشان می‌دهد حالت اولیه باید دارای  $l_i = l$  باشد. در هیدروژن، گذارهای غالب به حالت پایه عبارت‌اند از  $1s \rightarrow np$ .

به طور کلی، وقتی  $l_i$  و  $l_f$  صفر نیستند، باز هم یک قاعده گزینش به دست می‌آوریم. در بدست آوردن این قاعده، که فراتر از سطح اطلاعات ریاضی درباره توابع خاص است که در این کتاب فرض شده است، از قضیه جمع برای هماهنگهای کروی استفاده می‌شود که عبارت است از

$$Y_{l_1 m_1}(\theta, \phi) Y_{l_2 m_2}(\theta, \phi) = \sum_{L=|l_1-l_2|}^{l_1+l_2} C(L, m_1 + m_2; l_1, l_2, m_1, m_2) Y_{L, m_1+m_2}(\theta, \phi) \quad (81-21)$$

ضرایب  $C(L, m_1 + m_2; l_1, l_2, m_1, m_2)$  همان ضرایب کلبش-گوردان هستند که در ۴۶-۱۵ دیده می‌شوند. تکانه‌های زاویه‌ای ممکن در طرف راست همانهایی هستند که از

جمع تکانه‌های زاویه‌ای  $1, 0, -1$  در  $l_i + l_m = 1$  جاگذاری در  $76-21$  به نتیجه زیر می‌رسیم

$$\int d\Omega Y_{l_i m_i}^*(\theta, \phi) \sum_{L=|l_i - 1|}^{l_i + 1} C(L, m + m_i, 1, l_i, m, m_i) Y_{L, m+m_i}(\theta, \phi) = 0$$

مگر اینکه

$$l_f = l_i + 1, l_i, |l_i - 1| \quad (82-21)$$

از اینجا صورت کلی قاعده گزینش برای تابش دوقطبی الکتریکی به دست می‌آید:

$$\Delta l = 1, 0, -1 \quad (83-21)$$

که با این قید، چنانکه رابطه  $80-21$  به روشنی نشان می‌دهد، همراه است که گذارهای صفر-صفروی نمی‌دهند. قید دیگری نیز وجود دارد که ناشی از پایستگی پاریته است. چون  $r$  تحت انعکاس فرد است، یک قاعده گزینش اضافی برای گذارهای دوقطبی الکتریکی وجود دارد:

$$\text{حالت اتمی باید تعییر پاریته دهد} \quad (84-21)$$

چون پاریته از  $(1)^I$  به دست می‌آید، این قاعده ایجاب می‌کند که مقدار  $I$  باید عملأً تعییر کند. بنابراین، برای مثال گذارهای  $2m \rightarrow 3p$  تا مرتبه  $Z^2$  مجاز نیستند. تا جایی که اختلال منحصر به جفت‌شدگی زیر باشد

$$\frac{e}{mc} \mathbf{p} \cdot \mathbf{A}(\mathbf{r}, t) \quad (85-21)$$

وابستگی به اسپین در آن وجود ندارد، و از این رو اسپینها نمی‌توانند در گذار تعییر جهت دهنند. بنابراین، به یک قاعده گزینش اضافی می‌رسیم:

$$\Delta S = 0 \quad (86-21)$$

که قبلًا در بحث طیف هلیم مذکور شدیم. قاعده‌های گزینشی که در بالا بیان کردیم مطلق نیستند. قوانین پایستگی تکانه زاویه‌ای و پاریته (برای فرایندهای الکترومغناطیسی) مطلق هستند، اما  $83-21$  فقط تقریباً درست است. گذارهای

بین حالتها که در آنها  $\mathbf{B} = \mathbf{0}$  می‌باشد از طریق سازوکار دوقطبی الکتریکی روی دهنند. این گذارها در صورتی انجام می‌شوند که عنصر ماتریس

$$\langle \phi_f | e^{-i\mathbf{k} \cdot \mathbf{r}} \epsilon \cdot \mathbf{p} | \phi_i \rangle \quad (87-21)$$

مخالف صفر باشد. برای  $\Delta l = 2$ , توان اول  $\mathbf{r} \cdot \mathbf{k}$  سهمی مخالف صفر دارد. می‌توان نوشت

$$\begin{aligned} \mathbf{k} \cdot \mathbf{r} \epsilon \cdot \mathbf{p} &= \frac{1}{2}(\epsilon \cdot \mathbf{p}\mathbf{k} \cdot \mathbf{r} + \epsilon \cdot \mathbf{r}\mathbf{p} \cdot \mathbf{k}) + \frac{1}{2}(\epsilon \cdot \mathbf{p}\mathbf{k} \cdot \mathbf{r} - \epsilon \cdot \mathbf{r}\mathbf{p} \cdot \mathbf{k}) \\ &= \frac{1}{2}(\epsilon \cdot \mathbf{p}\mathbf{k} \cdot \mathbf{r} + \epsilon \cdot \mathbf{r}\mathbf{p} \cdot \mathbf{k}) + \frac{1}{2}(\mathbf{k} \times \epsilon) \cdot (\mathbf{r} \times \mathbf{p}) \end{aligned} \quad (88-21)$$

جمله اول را جمله چارقطبی الکتریکی می‌نامند، و جمله دوم را که به  $\mathbf{L} \cdot \mathbf{B}$  مربوط است جمله دوقطبی مغناطیسی می‌نامند. برای این گذارها، که عنصر ماتریس آنها را  $Z\alpha$  بار کوچکتر از جمله اصلی براورد کردیم، به ترتیب داریم  $\Delta l = 2$  و  $\Delta l = 0$ . چون عملکردهای رابطه  $88-21$  زوج هستند، بین حالت‌های اتمی تغییر پاریته نخواهیم داشت. برای مثال، گذارهای  $1s \rightarrow 3d$  نمی‌توانند از طریق سازوکار دوقطبی الکتریکی روی دهنند اما با سازوکار چارقطبی الکتریکی مجاز هستند. در واقع، معلوم می‌شود که به احتمال زیاد حالت  $3d$  ابتدا به حالت  $2p$  ۲ افت می‌کند و سپس از حالت آخر گذار مطلوب  $1s \rightarrow 2p$  صورت می‌گیرد، یعنی دو فوتون متوالی گسیل می‌شوند. قاعده گزینش اسپین  $S = 1$  نیز چنان خدمه ناپذیر نیست. علاوه بر جفت‌شدگی  $85-21$  جفت‌شدگی زیر، که در اثر نابهنجار زیمان بررسی شد، نیز وجود دارد

$$\lambda V(t) = \frac{ge}{2mc} \mathbf{S} \cdot \mathbf{B}(\mathbf{r}, t) \quad (89-21)$$

عنصر ماتریس برای جمله الفاکتنده گذار  $\Delta S \neq 0$  را می‌توان از مقایسه آن با عنصر ماتریس دوقطبی الکتریکی براورد کرد:

$$\frac{(eg/2mc)\hbar|\mathbf{k} \times \epsilon|}{(2e/mc)|\mathbf{p} \cdot \epsilon|} \simeq \frac{\hbar|\mathbf{k}|}{|\mathbf{p}|} \simeq \frac{\hbar\omega}{|\mathbf{p}|c} \simeq \frac{mc^2(Z\alpha)^2}{mc^2(Z\alpha)} \simeq Z\alpha \quad (90-21)$$

و می‌بینیم که بازداشتہ می‌شود، درست مانند عنصر ماتریس دوقطبی مغناطیسی که شباهت صوری زیادی با آن دارد. به عنوان یک مثال از وضعیتی که در آن جفت‌شدگی  $89-21$  نقش مهمی دارد، فرایند هسته‌ای فروپاشی فوتونی دوترون را در نظر می‌گیریم

$$\gamma + d \rightarrow n + p \quad (91-21)$$

دوترون با تقریب بسیار خوب یک حالت  $S_1^1$  است در گذار دوقطبی الکتروکمagnطی [www.arsanjan.blogfa.com](http://www.arsanjan.blogfa.com) ( $n - p$ ) باید در حالت  $P$  باشد زیرا  $\Delta I = \Delta S = 0$ . اما معلوم می‌شود که، درست بالاتر از آستانه واکنش، بعيد است دو نوکلئون در یک حالت نسبی  $P$  باشند. به طور کلی، ذرات تنها به شرطی می‌توانند با احتمال محسوس در یک حالت نسبی تکانه زاویه‌ای  $L$  باشند که

$$|\mathbf{p}|a \gtrsim hL \quad (92-21)$$

که در آن  $p$  تکانه نسبی و  $a$  اندازه دستگاه است. در مورد دوترون، وقتی انرژی  $\gamma$  کمتر از  $10\text{ MeV}$  است، بعيد است که دستگاه  $(\mu - n)$  در یک حالت  $P$  باشد. اما جفت‌شدگی اضافی

$$-\frac{e}{2Mc} (g_p \mathbf{s}_p + g_n \mathbf{s}_n) \cdot \mathbf{B} \quad (93-21)$$

می‌تواند باعث گذار بین حالت  $S_1^1$  و حالت نامقید  $S_0^0$  شود. برهمکنش را می‌توان به صورت زیر نوشت

$$-\frac{e}{2Mc} \left[ \frac{1}{2} (g_p + g_n)(\mathbf{s}_p + \mathbf{s}_n) + \frac{1}{2} (g_p - g_n)(\mathbf{s}_p - \mathbf{s}_n) \right] \cdot \mathbf{B} \quad (94-21)$$

جمله اول تحت تبادل  $p \leftrightarrow n$  متقارن است، و در نتیجه نمی‌تواند در گذار بین حالت اسپینی متقارن و حالت اسپینی پادمتقارن سهمی داشته باشد، اما جمله دوم سهیم است. ضرایب در واقع بسیار بزرگ هستند، زیرا  $g_p \approx 5.56$  و  $g_n \approx -3.81$ .

یک قاعدة گزینش وجود دارد که خدشه‌ناظر است، و آن قاعده‌ای است که گذارهای صفر-صفرا (مربوط به تکانه زاویه‌ای کل  $= j$ ) را در فرایندهای تک‌فوتوئی منع می‌کند. روش کلی اثبات مطلق بودن این قاعدة گزینش به صورت زیر است: عنصر ماتریس، که یک کمیت نزدیک است باید به طور خطی شامل قطبیش فوتون باشد، و از این رو باید به صورت  $\mathbf{V} \cdot \epsilon$  باشد که در آن  $\mathbf{V}$  برداری است که در مستقه وارد می‌شود. اگر حالت‌های اولیه و نهایی حالت‌های  $= j$  باشند، یعنی وابسته به هیچ راستایی نباشند، آنگاه تنها برداری که داریم تکانه فوتون  $k$  است. اما  $\epsilon \cdot k = 0$  و در نتیجه راهی برای ساختن عنصر ماتریس در دست نیست. بنابراین، چنین عنصری نباید وجود داشته باشد.<sup>۱</sup>

۱. رابطه  $\epsilon \cdot k = 0$  مستقل از انتخاب پیمانه است، و بیان عرضی بودن میدان الکترومغناطیسی است. این نوع استدلالها "بنابر شمارش" در فیزیک ذرات بنیادی، که در آن برهمکنش واقعاً شناخته نیست. فراوان به کار می‌رود.

[www.arsanjan.blogfa.com](http://www.arsanjan.blogfa.com)  $\gamma_p \rightarrow s$  گذار

اکنون رابطه ۷۳-۲۱ را اخصاصاً برای گذار  $s \rightarrow p$  بررسی می‌کنیم. باید انتگرال شعاعی را محاسبه کنیم:

$$\begin{aligned} & \int_0^\infty dr r^r R_{s+}(r) R_{s-}(r) \\ &= \int_0^\infty dr r^r \left[ 2 \left( \frac{Z}{a_0} \right)^{r/2} e^{-Zr/a_0} \right] \left[ \frac{1}{\sqrt{2\pi}} \left( \frac{Z}{a_0} \right)^{\delta/2} r e^{-Zr/\delta a_0} \right] \\ &= \frac{1}{\sqrt{\pi}} \left( \frac{Z}{a_0} \right)^r \int_0^\infty dr r^r e^{-rZr/\delta a_0} \\ &= \frac{1}{\sqrt{\pi}} \left( \frac{Z}{a_0} \right)^r \left( \frac{2a_0}{3Z} \right)^\delta \int_0^\infty dx x^r e^{-x} = \frac{2\pi}{\sqrt{\pi}} \left( \frac{2}{3} \right)^\delta Z^{-1} a_0. \end{aligned} \quad (95-21)$$

انتگرال زاویه‌ای به صورت زیر است

$$\begin{aligned} \int d\Omega Y_{s+}^* \epsilon \cdot \hat{r} Y_{s-} &= \frac{1}{\sqrt{4\pi}} \int d\Omega \sqrt{\frac{4\pi}{3}} \left( \epsilon_z Y_{s+}^* + \frac{-\epsilon_x + i\epsilon_y}{\sqrt{2}} Y_{s-1}^* \right. \\ &\quad \left. + \frac{\epsilon_x + i\epsilon_y}{\sqrt{2}} Y_{s+1}^* \right) Y_{s-} \\ &= \frac{1}{\sqrt{3}} \left( \epsilon_z \delta_{m,0} + \frac{-\epsilon_x + i\epsilon_y}{\sqrt{2}} \delta_{m,-1} + \frac{\epsilon_x + i\epsilon_y}{\sqrt{2}} \delta_{m,1} \right) \end{aligned} \quad (96-21)$$

مجدور قدر مطلق حاصلضرب ۹۵-۲۱ و ۹۶-۲۱ عبارت است از

$$96 \left( \frac{2}{3} \right)^r \left( \frac{a_0}{Z} \right)^r \frac{1}{3} \left[ \delta_{m,0} \epsilon_z^r + \frac{1}{\sqrt{2}} (\delta_{m,1} + \delta_{m,-1}) (\epsilon_x^r + \epsilon_y^r) \right] \quad (97-21)$$

و آهنگ گذار به ازای یک مقدار معین  $m$  برای آن برانگیخته به صورت زیر است

$$\begin{aligned} R_{sp-s} &= \int d\Omega_p \left( \frac{\alpha}{4\pi} \right) \frac{\omega}{m^r c^r} m^r \omega^r \frac{2^{15}}{3^{10}} \left( \frac{a_0}{Z} \right)^r \\ &\times \left[ \delta_{m,0} \epsilon_z^r + \frac{1}{\sqrt{2}} (\delta_{m,1} + \delta_{m,-1}) (\epsilon_x^r + \epsilon_y^r) \right] \end{aligned} \quad (98-21)$$

$$\begin{aligned}\omega &= \frac{1}{\hbar} \left[ \frac{1}{2} mc^2 (Z\alpha)^2 \left( 1 - \frac{1}{4} \right) \right] \\ &= \frac{3}{8} \frac{mc^2}{\hbar} (Z\alpha)^2\end{aligned}\quad (۹۹-۲۱)$$

بسامد تابش گسیل شده در گذار است.

انتگرال زاویه‌ای در ۹۸-۲۱ روی راستهای فوتون گرفته می‌شود، و ساده نیست زیرا  $\epsilon$  مقید است که بر راستای تکانهٔ فوتون عمود باشد. انتگرال‌گیری بسیار ساده خواهد بود اگر حالت اولیه  $p$  سمت‌گیری نداشته باشد، یعنی در سه حالت ممکن  $(m = 1, 0, -1)$  با احتمال برابر روی دهد. آنگاه آهنگ گذار به صورت زیر است

$$R_{tp \rightarrow ts} = \frac{1}{3} \sum_{m=-1}^1 R_{tp \rightarrow ts}(m) \quad (100-21)$$

چون

$$\sum_{m=-1}^1 [\delta_{m0} \epsilon_z^r + \frac{1}{2} (\delta_{m1} + \delta_{m-1}) (\epsilon_x^r + \epsilon_y^r)] = \epsilon_x^r + \epsilon_y^r + \epsilon_z^r = 1 \quad (101-21)$$

تابع زیر انتگرال مستقل از راستای فوتون می‌شود. نتیجه را باید در ۲ نیز ضرب کنیم، زیرا دو حالت قطبش ممکن برای فوتون داریم و هر دو را آشکارسازی می‌کنیم. بهتر است طرف راست رابطه ۵۵-۲۱ را به صورت دقیق‌تر زیر بنویسیم

$$\int d\Omega_{\mathbf{p}} \frac{\alpha}{2\pi} \frac{\omega_{km}}{m^2 c^2} \sum_{\lambda=1}^2 |\langle \phi_m | e^{-i\mathbf{k} \cdot \mathbf{r}} \epsilon^{(\lambda)} \cdot \mathbf{p} | \phi_k \rangle|^2 \quad (102-21)$$

که در آن  $\lambda$  قطبشها را نشان می‌دهد. دو حالت قطبش برهم عمود هستند، و در نتیجه داریم

$$\epsilon^{(\lambda)} \cdot \epsilon^{(\lambda')} = \delta_{\lambda\lambda'} \quad (103-21)$$

$$R_{rp \rightarrow 1s} = 2 \cdot 4\pi \frac{\alpha}{2\pi} \frac{1}{c^2} \left( \frac{3}{8} \frac{mc^2}{\hbar} Z^2 \alpha^2 \right)^2 \frac{2^{15}}{3^{10}} \left( \frac{\hbar}{mcZ\alpha} \right)^2 \frac{1}{3}$$

$$= \frac{2^8}{3^8} \frac{mc^2}{\hbar} \alpha (Z\alpha)^4 \cong 6 \times 10^9 Z^2 s^{-1} \quad (104-21)$$

این نتیجه حدود ۳۰ بار کوچکتر از برآورد ۶۸-۲۱ است. بنابراین، جزئیات عوامل در عنصرهای ماتریس اهمیت دارند و حدس نمی‌تواند جای محاسبه را بگیرد. با این همه، از ملاحظات ابعادی و احتساب مناسب توانهای ۲ می‌توان به عنوان راهنمای برای تعیین مرتبه بزرگی کمیتهای فیزیکی در فیزیک اتمی استفاده کرد.

رابطه آهنگ گذار

$$R_{fi} = \frac{d\Omega_p}{2\pi} \frac{e^2}{\hbar c} \frac{\omega^2}{c^2} \sum_{\lambda=1}^2 |\langle f | r | i \rangle \cdot \epsilon^{(\lambda)}|^2 \quad (105-21)$$

را می‌توان با ضرب کردن انرژی کوانتوم نور  $\hbar\omega$  در آن به فرمولی برای شدت تابش تبدیل کرد:

$$I_{fi} = d\Omega_p \frac{e^2}{2\pi c^3} \omega^2 \sum_{\lambda=1}^2 |\langle f | r | i \rangle \cdot \epsilon^{(\lambda)}|^2 \quad (106-21)$$

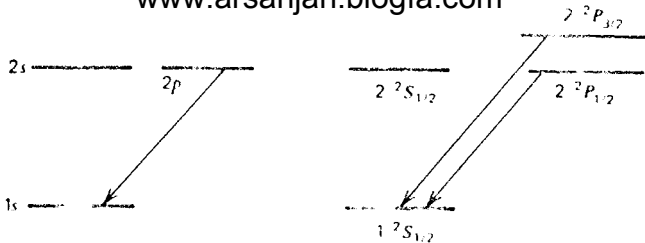
اما این درست فرمول کلاسیک برای شدت نوری است که یک دوقطبی نوسانی با گشتاور زیرگسل می‌کند

$$\mathbf{d} = e \langle f | \mathbf{r} | i \rangle e^{-i\omega t} \quad (107-21)$$

و مثال دیگری از اصل تطابق را به دست می‌دهد.

## اسپین و قاعده‌های شدت

منظور کردن اسپین اوضاع را زیاد تغییر نمی‌دهد. البته هر یک از حالتهای اولیه و نهایی می‌توانند در حالتهای اسپین "بالا" یا "پایین" باشند، اما چون برهم‌کنش در گذارهای اتمی وابسته به اسپین نیست تها گذارهای "بالا"  $\leftarrow$  "بالا" و "پایین"  $\leftarrow$  "پایین" مجاز هستند. بنابراین، آهنگهای گذار نه تنها از  $ml$  مستقل‌اند (چنانکه در بخش قبل دیدیم) بلکه به  $m_s$  و در نتیجه  $m_z$  نیز وابسته نیستند. با وارد کردن جفت‌شدگی اسپین-مدار، شکافتگهای ترازوکچکی (بر مقیاس اختلاف

شکل ۲-۲۱ سکافگی خط طبی  $1s - 2p$  به علت جفت‌شدن اسپین-مدار.

از ریزی  $1s - 2p$  به دست می‌آوریم. برای مثال، ساختار ترازی  $n = 2$  و  $m = 0$  چنانکه در شکل ۲-۲۱ نشان داده شده است، تغیر می‌کند. خط طبی مریبوط به گذار  $1s \rightarrow 2p$  به دو خط،  $2^2S_{1/2} - 2^2P_{1/2}$  و  $2^2P_{3/2} - 2^2S_{1/2}$ ، شکافته می‌شود. برای حالتهای شکافته، انکارال شعاعی و فضای فاصل نظری با دون تغییر می‌ماند، و در نتیجه نسبت شدت دو خط را می‌توان تنها از قسمتهای زاویه‌ای انکارال، یعنی صرفاً از برسیهای تکانه زاویه‌ای تعیین کرد.

جدول زیر توابع موج حالهای مورد بحث را نشان می‌دهد.

$J$	$m_J$	پاریته فرد	پاریته زوج	
			$ J = 1 $	$ J = 0 $
$3/2$	$3/2$	$Y_{11}\chi_+$		-
$3/2$	$1/2$	$\sqrt{2/3} Y_{10}\chi_+ + \sqrt{1/3} Y_{11}\chi_-$		-
$3/2$	$-1/2$	$\sqrt{1/3} Y_{1,-1}\chi_+ + \sqrt{2/3} Y_{10}\chi_-$		-
$3/2$	$-3/2$	$\sqrt{2/3} Y_{1,-1}\chi_-$		-
$1/2$	$1/2$	$\sqrt{1/3} Y_{10}\chi_+ - \sqrt{2/3} Y_{11}\chi_-$	$Y_{00}\chi_+$	
$1/2$	$-1/2$	$\sqrt{2/3} Y_{1,-1}\chi_+ - \sqrt{1/3} Y_{10}\chi_-$	$Y_{00}\chi_-$	

در مجذور عناصر ماتریس، قسمتهای شعاعی یکسان هستند. بنابراین، در بررسی آهنگهای مریبوط به  $P_{3/2} \rightarrow S_{1/2}$  باید مجذور عناصر ماتریس گذار برای  $m_J = 1/2 \rightarrow m_J = 3/2 \rightarrow m_J = 1/2 \rightarrow m_J = -1/2 \dots m_J = 3/2 \rightarrow m_J = -1/2$  ...  $m_J = 1/2 \rightarrow m_J = -1/2 \dots m_J = 1/2 \rightarrow m_J = -1/2 \dots m_J = 1/2$  را اضافه کنیم، در حالی که آهنگ مریبوط به  $P_{1/2} \rightarrow S_{1/2}$  شامل مجموع مجذورهای عناصر ماتریس برای این کار را می‌توان مستقیماً با استفاده از فنونی که کاملاً پیجیده و فراز از حد این کتاب هستند انجام داد. اما می‌توان این کمیتها را به تفصیل، با استفاده از این واقعیت که توابع موج متعامندند، محاسبه کرد.

$P_{\frac{1}{2}} \rightarrow S_{\frac{1}{2}}$  [www.arsanjan.blogfa.com](http://www.arsanjan.blogfa.com)

$m_j = \frac{3}{2} \rightarrow m_j = \frac{1}{2}$	$ \langle Y_{11}   \mathbf{r} \cdot \epsilon   Y_{++} \rangle ^2 = C$
$\frac{3}{2} \rightarrow -\frac{1}{2}$	$\circ \quad \chi_+^+ \chi_-^- = \circ$
$\frac{1}{2} \rightarrow \frac{1}{2}$	$ \langle \sqrt{\frac{2}{3}} Y_{11}   \mathbf{r} \cdot \epsilon   Y_{++} \rangle ^2 = \circ \quad (\Delta m = \circ)$
$\frac{1}{2} \rightarrow -\frac{1}{2}$	$ \langle \sqrt{\frac{1}{3}} Y_{11}   \mathbf{r} \cdot \epsilon   Y_{++} \rangle ^2 = C/3$
$-\frac{1}{2} \rightarrow \frac{1}{2}$	$ \langle \sqrt{\frac{1}{3}} Y_{1,-1}   \mathbf{r} \cdot \epsilon   Y_{++} \rangle ^2 = C/3$
$-\frac{1}{2} \rightarrow -\frac{1}{2}$	$ \langle \sqrt{\frac{2}{3}} Y_{11}   \mathbf{r} \cdot \epsilon   Y_{++} \rangle ^2 = \circ \quad (\Delta m = \circ)$
$-\frac{3}{2} \rightarrow \frac{1}{2}$	$\circ$
$-\frac{3}{2} \rightarrow -\frac{1}{2}$	$ \langle Y_{1,-1}   \mathbf{r} \cdot \epsilon   Y_{++} \rangle ^2 = C$

از جمع جمله‌ها به دست می‌آوریم

$$\sum R = \frac{\lambda C}{3} \quad (108-21)$$

همچنین داریم

$P_{\frac{1}{2}} \rightarrow S_{\frac{1}{2}}$	
$m_j = \frac{1}{2} \rightarrow m_j = \frac{1}{2}$	$ \langle \sqrt{\frac{1}{3}} Y_{11}   \epsilon \cdot \mathbf{r}   Y_{++} \rangle ^2 = \circ$
$\frac{1}{2} \rightarrow -\frac{1}{2}$	$ \langle -\sqrt{\frac{2}{3}} Y_{11}   \epsilon \cdot \mathbf{r}   Y_{++} \rangle ^2 = 2C/3$
$-\frac{1}{2} \rightarrow \frac{1}{2}$	$ \langle \sqrt{\frac{2}{3}} Y_{1,-1}   \epsilon \cdot \mathbf{r}   Y_{++} \rangle ^2 = 2C/3$
$-\frac{1}{2} \rightarrow -\frac{1}{2}$	$ \langle -\sqrt{\frac{1}{3}} Y_{11}   \epsilon \cdot \mathbf{r}   Y_{++} \rangle ^2 = \circ$

و

$$\sum R = \frac{4C}{3} \quad (109-21)$$

بنابراین، نسبت شدتها برابر است با

$$\frac{R(P_{\frac{1}{2}} \rightarrow S_{\frac{1}{2}})}{R(P_{\frac{1}{2}} \rightarrow S_{\frac{1}{2}})} = \frac{\lambda C/3}{4C/3} = 2 \quad (110-21)$$

دلیل جمع زدن روی تمام حالت‌های اولیه این است که وقتی اتم برانگیخته است تمام ترازهای  $p$  به طور یکسان اشغال شده‌اند، زیرا اختلاف انرژی آنها در مقایسه با اختلاف انرژی  $1s - 2p$  بسیار کوچک است. همچنین اگر آرمایشی انجام دهیم که بین حالت‌های نهایی تفاوت نگذارد، مانند اندازه‌گیری طیف نمایی، روی تمام آنها جمع می‌زنیم. در محاسبه آهنگ گذار  $1s \rightarrow 2p$ ، روی حالت‌های اولیه  $m$  میانگین گرفتیم. در آنجا این سوال مطرح بود: «اگر  $N$  اتم در حالت‌های  $2p$  داشته باشیم، در هر

ثانیه چند اتم و امی پاشد" میانگین  $\langle \text{atom}/\text{second} \rangle = \frac{\text{atom}}{\text{second}}$  موارد، وقتی  $N$  اتم برانگیخته شده باشند، حدود  $N/3$  در هر یک از حالت‌های  $1 - m = 1, 0, -1$  هستند. در اینجا، این واقعیت دخیل است که تعداد ترازها در حالت  $P_{1/2}$  از حالت  $P_{3/2}$  بیشتر است. مجموعاً شش تراز (چهار تراز با  $3/2 = j$  و دو تراز با  $1/2 = j$ ) و به طور متوسط  $N/6$  اتم در هر حالت داریم. این واقعیت که در زیر مجموعه ترازهای  $3/2 = j$  اتمهای بیشتری وجود دارند صرفاً به معنای واپاشی بیشتری است، و از این رو شدت نیز بیشتر خواهد بود.

## طول عمر و پهناى خط

عدد  $R(i \rightarrow f)$  که محاسبه آن را در این فصل آموختیم احتمال گذار  $f \rightarrow i$  تقسیم بر مدت زمان اعمال اختلال را نشان می‌دهد. این مدت زمان باید در مقایسه با  $(E_m^\circ - E_k^\circ + \hbar\omega)$  بزرگ باشد تا احتمال گذار متناسب با  $t$  شود، اما بدیهی است که نمی‌تواند زیاد بزرگ باشد. احتمال اینکه حالت اولیه دست‌نخورده باقی بماند برابر است با

$$P_i(t) = 1 - \left[ \sum_{f \neq i} R(i \rightarrow f) \right] t \quad (111-21)$$

که در آن جمع روی تمام حالت‌های نهایی قابل حصول زده می‌شود. بدیهی است که این رابطه برای زمانهای بهاندازه کافی طولانی بی‌معنی است، زیرا احتمالها باید مشتث باشند. اگر تحول زمانی دستگاه را دقیق‌تر محاسبه کنیم<sup>۲</sup>، خواهیم دید که طرف راست ۱۱۱-۲۱ صرفاً یک تقریب (با پایین‌ترین مرتبه اختلال) از رابطه صحیح زیر است — که این هم تنها برای زمانهای طولانی اعتبار دارد

$$P_i(t) = e^{-t \sum_{f \neq i} R(i \rightarrow f)} \quad (112-21)$$

بنابراین، می‌توان برای حالت اولیه طول عمر تعریف کرد:

$$\tau = \frac{1}{R} = \frac{1}{\sum_{f \neq i} R(i \rightarrow f)} \quad (113-21)$$

آهنگ گذار کل  $R$  مجموع آهنگهای گذار جزئی به مجراهای ممکن  $f$  است. در مثالی که به تفصیل بررسی کردیم، گذار  $1s \rightarrow 2p$  در اتمهای هیدروژن‌گونه، مجرای دیگری وجود ندارد، و از این رو

۲. این محاسبه در مبحث ویرفه، بخش "طول عمر پهناى خط و تشید" انجام شده است.

$$\tau = 1.6 \times 10^{-4} Z^{-4} s \quad (114-21)$$

که توافق آن با آزمایش عالی است. این نتیجه را ( $b$  بازای  $1 = Z$ ) با زمانی که طول می‌کشد تا الکترون "یکبار دور هسته بگردد" مقایسه می‌کنیم. سرعت  $\alpha c$  است و فاصله از مرتبه  $3 \times 10^{-8} \text{ cm}$  است؛ بنابراین، زمان مشخصه از مرتبه  $1.4 \times 10^{-16} \text{ s}$  است. برحسب این زمان، عمر حالت  $2p$  بسیار طولانی است.

چون طول عمر حالت  $2p$  متناهی است، انرژی آن بنابه اصل عدم قطعیت باید عدم قطعیتی با بزرگی زیر داشته باشد

$$\Delta E \sim \frac{\hbar}{\tau} \quad (115-21)$$

این عدم قطعیت باعث می‌شود شدت خط به عنوان تابعی از بسامد در  $h/(E_{2p} - E_{1s})$  کاملاً تیز نباشد، بلکه توزیعی به صورت زیر داشته باشد

$$I(\omega) \propto \frac{(R/2)^4}{(\omega - \omega_0)^4 + R^4/4} \quad (116-21)$$

توجه کنید که در حد  $\omega \rightarrow R$ ، یعنی در حدی که نظریه اختلال دقیقاً کاربرد دارد، از فرمول بالا به دست می‌آوریم

$$\lim_{\epsilon \rightarrow 0} \frac{\epsilon}{(\omega - \omega_0)^4 + \epsilon^4} = \pi \delta(\omega - \omega_0) \quad (117-21)$$

شكل خط با تابع دلتای پایستگی انرژی نشان داده شده است. پهنای خط  $116-21$  برابر است با  $R$ ، و این معیاری از عدم قطعیت در انرژی است. این شکل خط را شکل خط لورنتسی می‌نامند.

## مسائل

۱-۲۱ یک اتم هیدروژن در میدان الکتریکی یکنواخت  $E(t)$  با وابستگی زمانی

$$\begin{aligned} E(t) &= 0 & t < 0 \\ &= E_0 e^{-\gamma t} & t > 0 \end{aligned}$$

قرار دارد. اگر این اتم ابتدا در حالت پایه ناشایسته باشد [www.arsanjan.blogfa.com](http://www.arsanjan.blogfa.com) آورید که در  $\infty \rightarrow t$  اتم به حالت  $2p$  گذار کند.

۲-۲۱ رابطه‌ای برای  $(t)$  تا مرتبه دوم  $\lambda$  به دست آورید. بنویسید

$$c_n(t) = \delta_{nk} + \lambda c_n^{(1)}(t) + \lambda^2 c_n^{(2)}(t) + \dots$$

نشان دهید که معادله مرتبه اول برای  $c_n^{(1)}(t)$  تغییر نمی‌کند، و  $c_n^{(2)}(t)$  از معادله زیر پیروی می‌کند

$$c_m^{(2)}(t) = \frac{1}{i\hbar\lambda} \int_0^t dt' \sum_n c_n^{(1)}(t') e^{i(E_m^\circ - E_n^\circ)t'/\hbar} \langle \phi_m | V(t') | \phi_n \rangle$$

جواب  $(t)$  را جاگذاری کنید و رابطه خود را تا جایی که امکان دارد ساده گنید.  
۳-۲۱ یک نوسانگر هماهنگ را در نظر بگیرید که با هامیلتونی زیر توصیف می‌شود

$$H = \frac{1}{2m} p_x^2 + \frac{1}{2} m \omega^2(t) x^2$$

که در آن

$$\omega(t) = \omega_0 + \delta\omega \cos ft$$

و  $\omega \ll \delta\omega$ . با فرض اینکه دستگاه در  $t = 0$  در حالت پایه است، احتمال گذار از حالت پایه را برحسب زمان به دست آورید. از نظریه اختلال استفاده کنید. توجه کنید که  $\omega \neq \omega_0$

$$\begin{aligned} \langle n | x^2 | 0 \rangle &= \hbar / \sqrt{2} m \omega & n &= 2 \\ &= 0 & n &\neq 2 \end{aligned}$$

۴-۲۱ فرض کنید ذره‌ای با جرم سکون  $M$  به دو ذره با جرم‌های سکون  $m_1$  و  $m_2$  وامی باشد. با استفاده از رابطه نسبیتی میان انرژی و تکانه، چگالی حالت‌های  $\rho$  را که در ۶۱-۲۱ آمده است محاسبه کنید.

[راهنمایی: تنها یک تکانه مستقل  $p$  وجود دارد، و به

$$\int \frac{d^3 p}{(2\pi\hbar)^3} \delta(E_{\text{اولیه}} - \sum_{\text{حالت‌های نهایی}} E)$$

احتیاج دارد.]

۵-۲۱ محاسبه مسئله قبل

[www.arsatiran.blogspot.com](http://arsatiran.blogspot.com)

$$A \rightarrow B + C + D$$

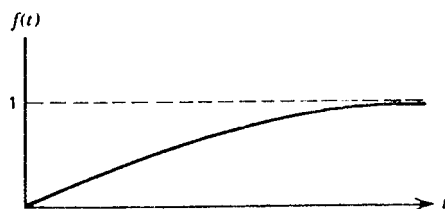
که در آن ذرات  $C$  و  $D$  بی جرم هستند.

[راهنمایی: در اینجا دو تکانه مستقل دارید.]

۶-۲۱ این مسئله مثالی از قضیه بی دررو است. بنابراین قضیه اگر تغییر هامیلتونی از  $H_0$  به  $H$  بسیار کند باشد، دستگاهی که در یک ویژه حالت معین  $H_0$  است به ویژه حالت متناظر  $H$  می‌رود، بدون اینکه هیچ گذاری صورت گیرد. به عنوان یک مورد مشخص، حالت پایه را در نظر بگیرید، به طوری که

$$H_0 \phi_0 = E_0 \phi_0$$

فرض کنید  $V(t) = f(t)V$  که در آن  $f(t)$  یک تابع کند تغییر است که در نمودار زیر نشان داده شده است



اگر  $\omega_0$  حالت پایه مربوط به  $H = H_0 + V$  باشد، بنابراین قضیه بی دررو کارهای زیر را باید انجام دهید

$$|\langle \omega_0 | \psi(t) \rangle| \rightarrow 1$$

(الف) نشان دهید برای زمانهایی که  $f(t) = 1$

$$\frac{1}{i\hbar} \int_0^t dt' e^{i(E_m^\circ - E_0^\circ)t'/\hbar} f(t') \rightarrow \frac{e^{i(E_m^\circ - E_0^\circ)t/\hbar}}{E_m^\circ - E_0^\circ}$$

از رابطه زیر استفاده کنید.

$$\frac{df(t')}{dt'} \ll \frac{E_m^\circ - E_0^\circ}{\hbar} f(t')$$

می‌توانید تابع  $f(t)$  را با یک مثال مشخص کنید، یا اینکه انتگرال جزء به جزء بگیرید، یعنی در انتگرال بالا بنویسید

(ب) با استفاده از ۳-۲۱ و ۹-۲۱، تابع  $(t)\psi$  را محاسبه کنید. نتیجه را با فرمول ۱۹-۱۶، که در این مورد به صورت

$$w_0 = \phi_0 + \sum_{m \neq 0} \frac{\langle \phi_m | V | \phi_0 \rangle}{E_0 - E_m} \phi_m$$

است مقایسه کنید و از اینجا نشان دهید

$$|\langle w_0 | \psi(t) \rangle| \rightarrow 1$$

۷-۲۱ آهنگ گذار  $1s \rightarrow 2p$  را برای نوسانگر سه بعدی، براساس طرحی که در این فصل ارائه شد، محاسبه کنید.

۸-۲۱ هسته‌ها گاهی با فرایندی که تبدیل داخلی نامیده می‌شود، و در آن یکی از الکترونهای  $1s$  به جای فوتون گسیل می‌شود، از حالت برانگیخته به حالت پایه وامی پاشند. فرض کنید توابع موج اولیه و نهایی هسته عبارت باشند از

$$\phi_I(\mathbf{r}_1, \mathbf{r}_2, \dots, \mathbf{r}_A) \quad \text{و} \quad \phi_F(\mathbf{r}_1, \mathbf{r}_2, \dots, \mathbf{r}_A)$$

که در آن  $\mathbf{r}_i, Z$  ( $i = 1, 2, \dots, Z$ ) به پروتونها و  $\mathbf{r}_{Z+1}, \dots, \mathbf{r}_A$  به نوترونها مربوط می‌شوند. اختلالی که باعث این گذار می‌شود برهم‌کنش هسته-الکtron است:

$$V = - \sum_{i=1}^Z \frac{e^i}{|\mathbf{r} - \mathbf{r}_i|}$$

که در آن  $\mathbf{r}$  بردار مکان الکtron است. بنابراین، عنصر ماتریس عبارت است از

$$-\int d^3\mathbf{r} \int d^3\mathbf{r}_1 \cdots d^3\mathbf{r}_A \phi_F^* \frac{e^{-i\mathbf{p}\cdot\mathbf{r}/\hbar}}{\sqrt{V}} \sum_{i=1}^Z \frac{e^i}{|\mathbf{r} - \mathbf{r}_i|} \phi_I \psi_{1\dots}( \mathbf{r})$$

(الف) اندازه نکانه الکترونی  
[www.arsanfanblogfa.com](http://www.arsanfanblogfa.com)  
 (ب) با استفاده از بسط

$$\frac{1}{|\mathbf{r} - \mathbf{r}_i|} \simeq \frac{1}{r} + \frac{\mathbf{r} \cdot \mathbf{r}_i}{r^3}$$

آهنگ مربوط به فرایند گذار دوقطبی را بمحاسبه

$$\mathbf{d} = \sum \int d^3\mathbf{r}_1 \cdots d^3\mathbf{r}_A \phi_F^* \mathbf{r}_i \phi_I$$

محاسبه کنید.

۹-۲۱ نشان دهید وقتی  $t \rightarrow \infty$

$$e^{i\omega t} \sin(\omega_0 - \omega)t \sin(\omega_0 + \omega)t \rightarrow -\frac{1}{2}$$

[راهنمایی: از رابطه  $\lim_{t \rightarrow \infty} \sin At = \lim_{t \rightarrow \infty} \cos At = 0$  استفاده کنید.]

### مراجع

قضیه جمع که به محاسبه عمومی تر قاعده های گزینش به کار می آید در تمام کتابهای پیشرفته تری که در آخر این کتاب معرفی شده اند و همچنین در کتاب زیر بررسی شده است  
 M E Rose, *Elementary Theory of Angular Momentum*, John Wiley & Sons, New York, 1957.

انتگرال های شعاعی برای موارد کلی تر در کتابهای زیر بررسی شده اند

H A Bethe and R W Jackiw, *Intermediate Quantum Mechanics*, W A Benjamin, New York, 1968.

H A Bethe and E E Salpeter, *Quantum Mechanics of One-and Two-Electron Atoms*, Springer Verlag, Berlin / New York, 1957.

E U Condon and G H Shortley, *The Theory of Atomic Spectra*, Cambridge University Press, Cambridge, England, 1959.

# ۲۲

## مباحث برگزیده در نظریه تابش

در فصل ۲۱ (روابط ۴۰-۲۱ و ۴۱-۲۱) گفتیم که برای جذب یک کوانتوم نور از حالت اولیه‌ای  $n$  فوتون با بسامد زاویه‌ای  $\omega$  و قطبش  $\lambda$  دارد پتانسیل برداری به صورت زیر است

$$\mathbf{A}(\mathbf{r}, t) = \sqrt{\frac{2\pi c^2 h}{\omega V}} \sqrt{n} \epsilon^{(\lambda)} e^{i(\mathbf{k} \cdot \mathbf{r} - \omega t)} \quad (1-22)$$

و برای گسیل یک کوانتوم نور به حالت اولیه‌ای با  $n$  فوتون با بسامد زاویه‌ای  $\omega$  و قطبش  $\lambda$  داریم

$$\mathbf{A}(\mathbf{r}, t) = \sqrt{\frac{2\pi c^2 h}{\omega V}} \sqrt{n+1} \epsilon^{(\lambda)} e^{-i(\mathbf{k} \cdot \mathbf{r} - \omega t)} \quad (2-22)$$

که در آنها حالت‌های قطبش نیز منظور شده‌اند. به بیان دقیق، تعداد فوتونها به تکانه و قطبش فوتون نیز بستگی دارد، و در واقع برای جذب باید بنویسیم

$$\mathbf{A}(\mathbf{r}, t) = \sqrt{\frac{2\pi c^2 h}{\omega V}} \sqrt{n_\lambda(\mathbf{k})} \epsilon^{(\lambda)} e^{i(\mathbf{k} \cdot \mathbf{r} - \omega t)} \quad (3-22)$$

$$\mathbf{A}(\mathbf{r}, t) = \sqrt{\frac{2\pi c^2 \hbar}{\omega V}} \sqrt{n_\lambda(\mathbf{k}) + 1} e^{(\lambda)} e^{-i(\mathbf{k} \cdot \mathbf{r} - \omega t)} \quad (4-22)$$

به لحاظ فیزیکی، این عوامل ایجاب می‌کنند که حضور فوتونهای با یک بسامد خاص احتمال گسیل فوتون دیگری با همان بسامد را تقویت کند. می‌گوییم این فوتونها گسیل تابش را القا می‌کنند یا برمی‌انگیزند.

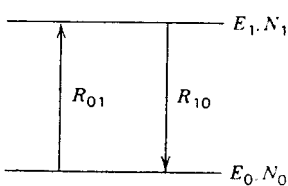
در فرایند "کوانتیده کردن" میدان الکترومغناطیسی یعنی وقتی میدانهای الکتریکی و مغناطیسی را، مانند  $(t)$  و  $p(t)$  در حرکت یک بعدی ذره، متغیرهای دینامیکی در نظر می‌گیریم پیدایش این عوامل وابسته به  $n$  امری کاملاً عادی به نظر می‌رسد. این روش فراتر از سطح این کتاب است. به جای آن، عوامل  $\sqrt{n+1}$  و  $\sqrt{n}$  را به روش جالب اینشتین، که در سال ۱۹۱۷ یعنی قبل از کشف مکانیک کوانتومی ارائه شد، محاسبه می‌کنیم.

## ضرایب A و B اینشتین

اینشتین با استفاده از نظریه پلانک، نظریه بور و مکانیک آماری به روش زیر استدلال کرد. گازی متشکل از مولکولهای را در نظر بگیرید که در یک کواک در دمای  $T$  با تابش برهمنکش می‌کنند. بنابر نظریه بور، این مولکولها می‌توانند در حالت‌های پایای مختلفی باشند. در حالت تعادل، نسبت تعداد مولکولها در یک حالت  $m$  به تعداد مولکولها در یک حالت  $n$  با رابطه زیر داده می‌شود

$$\frac{N_m}{N_n} = \frac{g_m}{g_n} \frac{e^{-E_m/kT}}{e^{-E_n/kT}} = \frac{g_m}{g_n} e^{-(E_m - E_n)/kT} \quad (5-22)$$

که در آن  $g_m$  مرتبه واگنی است، یعنی تعداد ترازهایی که انرژی  $E_m$  دارند. (از مکانیک کوانتومی اکنون می‌دانیم که  $g_m = 2J_m + 1$  که در آن  $J_m$  تکانه زاویه‌ای کل حالتی است که انرژی  $E_m$  دارد، اما در آنچه در زیر می‌آید به این رابطه احتیاج نداریم). اکنون یک زوج تراز  $E_1$  و  $E_0$  با



شکل ۲۲-۱ نمایش نموداری دستگاه دوترازی.

[www.Parsahjan.blogfa.com](http://www.Parsahjan.blogfa.com) این اثر انرژی پایینتر به تراز انرژی بالاتر باید با تعداد مولکولهای  $N$  که انرژی  $E$  دارند و با شدت تابش در کاواک که نور جذب شده از آن بسامد  $\gamma$  دارد متناسب باشد. بنابراین

$$R_{\circ,1} = N_{\circ} u(\nu, T) B_{\circ,1} \quad (6-22)$$

که در آن  $B_{\circ,1}$  ضریبی است که جذب تابش توسط مولکولهای دارای انرژی  $E$  را توصیف می‌کند و ضریب جذب القایی نامیده می‌شود، زیرا تابش موجود باعث این فرایند می‌شود. برای آهنگ گذار از حالت بالاتر به حالت پایینتر، اینشتین از این اصل بور استفاده کرد که گسیل خودبه‌خود می‌تواند با آهنگی مستقل از تابش موجود روی دهد، اما در اینجا باید گسیل القایی نیز وجود داشته باشد. اگر  $N_1$  تعداد مولکولها در حالت ۱ باشد، داریم

$$R_{1,0} = N_1(u(\nu, T)B_{1,0} + A_{1,0}) \quad (7-22)$$

$B_{1,0}$  گسیل القایی و  $A_{1,0}$  گسیل خودبه‌خود را توصیف می‌کند. در وضعیت تعادل، تعداد گذارهای  $\rightarrow 1$  باید برابر با تعداد گذارهای  $\rightarrow 0$  باشد، و در نتیجه

$$N_{\circ} u(\nu, T) B_{\circ,1} = N_1(u(\nu, T)B_{1,0} + A_{1,0}) \quad (8-22)$$

از ترکیب این رابطه با  $6-22$  به دست می‌آوریم

$$\frac{u(\nu, T)B_{1,0} + A_{1,0}}{u(\nu, T)B_{\circ,1}} = \frac{N_1}{N_{\circ}} = \frac{g_0}{g_1} e^{-(E_{\circ} - E_1)/kT}$$

که می‌توان آن را به صورت زیر نوشت

$$g_1 A_{1,0} = u(\nu, T)(g_0 B_{\circ,1} e^{(E_1 - E_{\circ})/kT} - g_1 B_{1,0}) \quad (9-22)$$

پیامدهای این رابطه عبارت‌اند از  
 (الف) بهارای مقدار ثابت  $E_1 - E_{\circ} = e^{(E_1 - E_{\circ})/kT}$ ، اگر  $\infty \rightarrow T$  آنگاه  $1 \rightarrow 0$  قانون ریلی-جیزز (فصل ۱) به دست می‌آوریم  $u(\nu, T) \rightarrow (8\pi\nu^3/c^3)kT$ . چون طرف چپ معادله  $9-22$  مستقل از  $T$  است، نتیجه می‌گیریم

$$g_0 B_{\circ,1} = g_1 B_{1,0} \quad (10-22)$$

که نشان می‌دهد به‌ازای هر مولکول آهنگ کسیل الکترونی بـ [www.arsanjan.blogfa.com](http://www.arsanjan.blogfa.com) جذب القایی برابر است.  
 (ب) از جاگذاری نتیجه بالا در ۹-۲۲ به‌دست می‌آوریم

$$g_1 A_{10} = u(\nu, T) (g_1 B_{10}) (e^{(E_1 - E_0)/kT} - 1)$$

یا

$$u(\nu, T) = \frac{A_{10}/B_{10}}{e^{(E_1 - E_0)/kT} - 1} \quad (11-22)$$

طرف چپ از قانون وین ۱-۴ پیروی می‌کند، و در نتیجه

$$\nu^r g\left(\frac{\nu}{T}\right) = \frac{A_{10}/B_{10}}{e^{(E_1 - E_0)/kT} - 1} \quad (12-22)$$

چون طرف چپ این معادله یک تابع عام است، و  $A_{10}/B_{10}$  نمی‌تواند تابع دما باشد، نتیجه می‌گیریم که باید  $A_{10}/B_{10}$  با  $\nu^r$  و  $(E_1 - E_0)$  با  $\nu$  متناسب باشد. بنابراین،  $E_1 - E_0 = h\nu$  که در آن  $/$  یک ثابت است، و می‌توان نوشت

$$u(\nu, T) = \frac{A_{10}/B_{10}}{\nu^r} \frac{\nu^r}{e^{h\nu/kT} - 1} \quad (13-22)$$

از مقایسه این رابطه با فرمول پلانک می‌بینیم که

$$\frac{A_{10}}{B_{10}} = \frac{8\pi h\nu^r}{c^r} \quad (14-22)$$

برای محاسبه  $A_{10}$  چنانکه در فصل ۲۱ دیدیم به مکانیک کوانتومی نیاز داریم. آهنگ کسیل به‌ازای هر مولکول  $R_{10}/N_1$  را می‌توان به صورت زیر نوشت

$$\begin{aligned} R_{10}/N_1 &= u(\nu, T) B_{10} + A_{10} = A_{10} \left( 1 + \frac{B_{10}}{A_{10}} u(\nu, T) \right) \\ &= A_{10} \left( 1 + \frac{1}{e^{h\nu/kT} - 1} \right) \end{aligned} \quad (15-22)$$

اما میانگین تعداد فotonها در واحد  $T_{\text{واحد}} \text{arbs}^{-1} \text{J}^{-1} \text{K}^{-1} \text{sr}^{-1}$  با رابطه زیر داده می‌شود

$$\langle n \rangle = \frac{\sum_n n e^{-nh\nu/kT}}{\sum_n e^{-nh\nu/kT}} = \frac{d/dx \sum_n e^{-nx}}{\sum_n e^{-nx}} \Big|_{x=h\nu/kT} \quad (16-22)$$

$$= \frac{1}{e^{h\nu/kT} - 1}$$

و در نتیجه که آهنگ گسیل به ازای هر مولکول به صورت زیر درمی‌آید

$$\frac{R_{10}}{N_1} = A_{10} (1 + \langle n(\nu, T) \rangle) \quad (17-22)$$

بنابراین، آهنگ گسیل به ازای هر مولکول با  $(\langle n \rangle + 1)$  متناسب است که در آن  $\langle n \rangle$  میانگین تعداد فotonهای موجود است. به همین ترتیب،  $R_{10}/N_1$  با میانگین تعداد فotonهای موجود  $\langle n \rangle$  متناسب است. اگرچه آهنگهای جذب و گسیل به ترتیب با  $\langle n(\nu, T) \rangle + 1$  و  $\langle n(\nu, T) \rangle$  متناسب هستند، که در آنها  $\langle n(\nu, T) \rangle$  تعداد متوسط فotonها با بسامد مناسب در تابش جسم سیاه است، این عوامل از توزیع بسامد خاص تابش مستقل‌اند. در هر رویداد جذب یا گسیل تنها یک فoton دخیل است، و از این‌رو دامنه‌های  $\mathbf{A}(r, t)$  به ترتیب شامل عوامل  $\sqrt{n(\nu)} + 1$  هستند. حیرت‌انگیز است که این‌شیوه چگونه توانسته است از ترکیب استدلال قوی آماری و آگاهی ابتدائی از اثرات کوانتومی تا این اندازه پیش برود.

## لیزرها

چشمگیرترین کاربرد فنی گسیل القایی در تولید تابش الکترومغناطیسی تکفام همدوس و بسیار جهتدار با استفاده از تقویت نور از طریق گسیل القایی در وسیله‌ای است که لیزر نامیده می‌شود.<sup>۱</sup> مؤلفه‌های اساسی یک لیزر عبارت‌اند از

۱. یک محیط لیزری با دستکم دو تراز انرژی، که با یک گاف انرژی از هم جدا شده‌اند، به طوری که اتمهای تراز بالاتر بتوانند در حضور فotonهای با بسامد مناسب گذار انجام دهند.
۲. سازوکاری برای پرجمعيت کردن مجدد تراز بالاتر برای تداوم عمل.
۳. یک کاواک مناسب که حاوی فotonهای القاگر و همچنین محیط لیزری است.

---

۱. این پدیده برای تابش در تمام بسامدها معتبر است، و در واقع ابتدا در ناحیه میکروموج مطالعه شد. وسیله مربوط را میزرنامند.

ماده‌ای را در نظر بگیرید که در آن توجه خود را به دو تراز انرژی  $E_1 > E_0$ ، با  $E_1 > E_0$ ، معطوف می‌کنیم. آهنگ تغییر  $(\nu)$  تعداد فوتونها با بسامد  $(E - E_0)/h = \nu$ ، را می‌توان با استفاده از آهنگ افزایش ناشی از گسیل القایی و خودبه‌خود توسط  $N_1$  اتم در حالت  $E_1$ ، آهنگ کاهش ناشی از جذب القایی توسط  $N_0$  اتم در حالت  $E_0$ ، و آهنگ اتلاف فوتونها ناشی از نشت از کاواک، که متناسب با  $n(\nu)$  است، حساب کرد. معادله مربوط عبارت است از

$$\frac{dn(\nu)}{dt} = N_1(u(\nu)B_{10} + A_{10}) - N_0u(\nu)B_{01} - \frac{n(\nu)}{\tau_0} \quad (18-22)$$

بعد زمان دارد، و کاواک باید به گونه‌ای طراحی شود که در مقایسه با زمانی که فوتونها طول کاواک را می‌پیمایند کوچک باشد. رابطه‌ای میان چگالی انرژی فوتون و تعداد فوتونها برقرار است. فرمول

$$u(\nu) = \frac{8\pi\nu^4}{c^2} h\nu n(\nu) \quad (19-22)$$

که برای تابش جسم سیاه صادق است یک رابطه کلی است، زیرا چگالی را به صورت حاصلضرب تعداد مدها در واحد بازة بسامد، انرژی در این بسامد و تعداد فوتونهای دارای این انرژی توصیف می‌کند. بنابراین،

$$\frac{dn(\nu)}{dt} = n(\nu) \left[ \left( N_1 - \frac{g_1}{g_0} N_0 \right) A_{10} - \frac{1}{\tau_0} \right] + N_1 A_{10} \quad (20-22)$$

که نشان می‌دهد تعداد فوتونها با زمان افزایش می‌یابد مگر اینکه

$$N_1 - \frac{g_1}{g_0} N_0 > \frac{1}{A_{10}\tau_0} \quad (21-22)$$

چون در تعادل گرمایی داریم

$$\begin{aligned} N_1 - \frac{g_1}{g_0} N_0 &= N_1 \left( 1 - \frac{N_0/g_0}{N_1/g_1} \right) = N_1 (1 - e^{-(E_0 - E_1)/kT}) \\ &= N_1 (1 - e^{h\nu/kT}) < 0 \end{aligned} \quad (22-22)$$

می‌بینیم که لیزر باید در مدد [www.arsatnjan.blogspot.com](http://www.arsatnjan.blogspot.com) می‌دهد که باید یک جمعیت اضافی در اتمها در تراز  $E_1$  ایجاد کنیم، یعنی باید وارونی جمعیت به وجود آوریم. یک راه انجام این کار را در زیر توصیف می‌کنیم

### پمپاز اپتیکی

یک راه ایجاد وارونی جمعیت استفاده از ماده‌ای است که در آن فرایند شامل گذارهایی بین سه تراز است. شکل ۲-۲۲ یک دستگاه سه‌ترازی را نشان می‌دهد. معادله‌ها آهنگ تغییر  $N_1$ ,  $N_2$  و  $N_p$  را در حضور یک باریکه نور با چگالی انرژی  $u$  در بسامدی  $u_p$  توصیف می‌کنند که اتمها را از حالت پایه "۰" به یکی از دو حالت برانگیخته که بالاتر است، حالت "۲"، پسپ می‌کند. عواملی که در تغییر  $N_2$  دخیل هستند عبارت‌اند از واپاشی خودبه‌خود و القایی به حالتهای "۱" و "۰" که عدد اشغال تراز "۲" را کاهش می‌دهد و برانگیزش القایی از حالتهای "۱" و "۰" که  $N_2$  را افزایش می‌دهد:

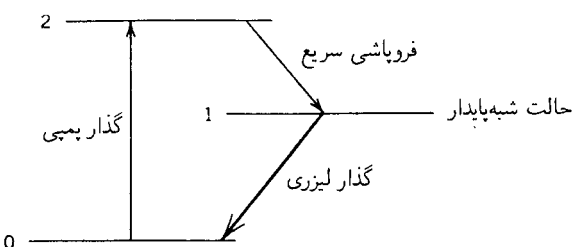
$$\frac{dN_1}{dt} = N_1 A_{21} - N_2 A_{10} - N_2 B_{21} u(\nu_{12}) - N_2 B_{10} u_p(\nu_{02}) + N_1 B_{12} u(\nu_{12}) + N_0 B_{02} u_p(V_{02}) \quad (23-22)$$

به همین ترتیب، داریم

$$\frac{dN_2}{dt} = -N_1 A_{10} - N_1 B_{12} u(\nu_{12}) - N_1 u(\nu_{01}) B_{10} + N_2 A_{21} + N_2 B_{21} u(\nu_{12}) \quad (24-22)$$

در وضعیت پایا هر دو مشتق زمانی صفر می‌شوند.

فرض کنید ماده بهگونه‌ای است که  $R_{21} \gg R_{10}$ . در این مورد، تجمع اتمها در حالت "۲" و افزایش چگالی تابش در  $\nu_{12}$  روی نخواهد داد. می‌توان به‌آسانی نشان داد که از معادله‌های



شکل ۲-۲۲ نمایش نموداری گذار پمپ شده، که به دنبال آن افت سریع به حالت شبه‌پایدار و از آنجا گذار لیزری روی موده دهد.

وضعیت پایا، با  $\nu = (\nu_{12}, \nu_{10})$  به دست می‌آوریم

$$\frac{N_1}{N_0} = \frac{R_{21}}{R_{10}} \frac{B_{02} u_p}{A_{21} + A_{20} + B_{02} u_p} \quad (25-22)$$

وقتی چگالی انرژی پمپاژ  $u_p$  بزرگ است عامل دوم از مرتبه ۱ است، و  $N_1 \gg N_2$ ، که وارونی جمعیت را نشان می‌دهد.

به لحاظ فیزیکی، اتمها به حالت برانگیخته بالاتر "۲" پمپ می‌شوند و به سرعت به حالت شبیه‌پایدار "۱" که در آن وارونی جمعیت ایجاد می‌شود افت می‌کنند، و گذارهای لیزری به حالت پایه روی می‌دهند. این دستگاه سه‌تازی در لیزر یاقوت به کار می‌رود. البته انواع دیگر لیزر نیز وجود دارند، و بحث بالا تنها به منظور نشان دادن راهی برای ایجاد وارونی جمعیت است. بدین ترتیب، سازوکارهای مختلف پمپاژ و مواد لیزری مختلف امکان لیزرهایی را فراهم می‌آورند که می‌توانند در قسمتهای مختلف طیف الکترومغناطیسی کار کنند. همچنین امکان دارد از موادی استفاده کنیم که در آنها تابش لیزری به ترازهای (کم فاصله) ارتعاشی نهایی مختلفی منتهی می‌شود، و در نتیجه می‌توان لیزرهای کوکپذیر ساخت.

## کاواک

تولید باریکه کم عرض موازی احتیاج به کاواکی با ساختار استوانه‌ای دارد که در دو سر آن آینه‌هایی با شفافیت کم تعییه شده‌اند. این آینه‌ها برای نگهداشتن فوتونها در داخل کاواک هستند تا چگالی انرژی  $(\nu_{10}, \nu_{12})$  افزایش یابد. یادآوری می‌کنیم که آهنگ تغییر تعداد فوتونها عبارت است از

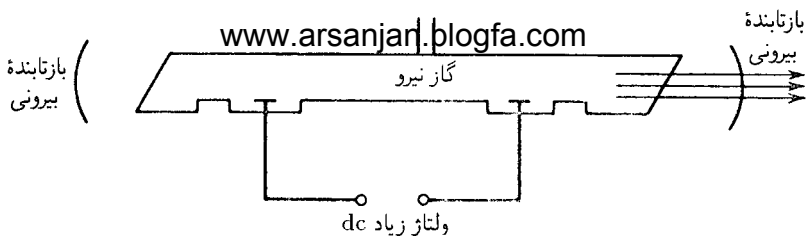
$$\frac{dn(\nu)}{dt} = N_1(u(\nu)B_{10} + A_{10}) - N_0 u(\nu)B_{01} - \frac{n(\nu)}{\tau_0}$$

که در آن  $N_1 \gg N_0$ . می‌توان  $\tau_0$ ، "طول عمر فوتونها در کاواک"، را به روش زیر براورد کرد: فرض کنید تابش در کاواک استوانه‌ای به طول  $L$  فقط جلو و عقب می‌رود. اگر  $n^*$  ضریب شکست محیط باشد، زمان پیمایش برابر با  $n^* L/c$  است. اگر ضریب بازتاب آینه  $r \approx 0.99$  باشد، شدت نور پس از  $k$  پیمایش به  $r^k$  کاهش می‌یابد، و در نتیجه با  $1 - r = r$  داریم

$$I_k/I_0 = (1 - r)^k \approx e^{-k\epsilon} \quad (26-22)$$

پس از  $r = 1/e = 1/(1 - \epsilon) = k$  بار پیمایش، شدت به  $1/e$  مقدار اولیه خود کاهش می‌یابد. بنابراین، طول عمر تابش در کاواک برابر است با

$$\tau_0 \approx kn^* L/c = n^* L/c(1 - r) \quad (27-22)$$



شکل ۳-۲۲ تصویر نموداری لیزر.

اگر کلاواک به دریچه‌هایی با زاویه بروستر (که تقریباً به طور کامل حاوی یک حالت قطبیش تابش هستند) متنه شود، که در پشت آنها آینه‌های کروی یکسان قرار دارند که فاصله میانشان برابر با شعاع خمیدگی مشترک آنها است (شکل ۳-۲۲)، ضریب بازتاب را می‌توان به ۱ نزدیک کرد. توجه کنید که پهنای خط تابش برابر است با

$$\Delta\nu = 1/\tau_0 = c(1-r)n^2 L \quad (28-22)$$

که در مقایسه با  $L/2n^2$ ، یعنی فاصله بسامدی دو مد مجاور در کاواکی به اندازه  $L$ ، بسیار کوچک است. بنابراین، یک باریکه تقریباً تکفام تولید می‌شود.

### سرد کردن اتمها

در این بخش یک کاربرد لیزرهای را بیان می‌کنیم که با مطالعه اتمها ارتباط مستقیم دارد، یعنی استفاده از آنها برای کند کردن اتمها و در نتیجه کاهش پهن شدگی دوپلری خطهای طیفی که از آنچه ۱۱۶ توصیف می‌کند بیشتر است.

خطهای طیفی از چند راه پهن می‌شوند. اتمها به طور کلی به تنها بیان می‌شوند. در گازی از اتمها عموماً برخوردهایی روی می‌دهد، و زمان بین این برخوردها،  $\tau_c$ ، اگر از عمر متوسط حالت مورد بررسی کمتر باشد، پهنای خط طیفی را تعیین می‌کند، زیرا  $\tau_c$  علاوه بر عمر حالت است، و در نتیجه  $\tau_c/11$  بزرگتر از پهنای طبیعی خط است. پهن شدگی برخوردي را می‌توان با کاهش چکالی (یا فشار) گاز اتمهای مورد بررسی کم کرد. پهن شدگی دوپلری نیز وجود دارد. وقتی اتمی با سرعت  $v$  حرکت می‌کند، بسامد تاش گسیل شده از اتم به اندازه  $\omega(v/c)^2 = \Delta\omega$  تغییر می‌کند. اگر سرعت اتم را برابر با  $v_{rms} = \sqrt{3kT/M}$ ، یعنی سرعت ریشه میانگین محدودی اتمها در گازی با دمای  $T$  بگیریم آنگاه به عنوان مثال برای هیدروژن داریم  $\sqrt{T} \approx 10^{-6} \times 10^3 \text{ ر}^\circ \approx \Delta\omega$ . این نتیجه بسیار بیشتر از مقدار طبیعی  $\omega/\Delta\omega$  است، که برای خط  $1s \rightarrow 2p$  تقریباً برابر با  $10^{-3}$  است. بنابراین، برای غلبه بر پهن شدگی دوپلری باید اتمها را سرد کرد. این کار با قرار دادن اتم در باریکه لیزر انجام می‌شود. اتمی را در نظر بگیرید که در جهت مثبت  $z$  با سرعت

v حرکت می‌کند. فرض کنید اختلاف اتری بین  $\omega_0$  و  $\omega$  بوده باشد.  $\omega$  را کمی متفاوت با  $\omega_0$  می‌گیریم، و پارامتر واکوکی را به صورت  $\delta = \omega - \omega_0$  تعريف می‌کنیم. اگر باریکه لیزر در جهت مثبت  $z$  منتشر شود، اتم یک باریکه "می‌بیند" که به سرخ منتقل شده است زیرا به نظر می‌رسد که منشأ باریکه از اتم دور می‌شود. بنابراین، بسامدی که اتم می‌بیند  $(\omega - v/c)$  است. در نتیجه، مقدار واکوکی باریکه لیزر از بسامد تشدید برابر است با  $\omega - v/c = \omega_0 - \delta$ . چون  $\delta < 1/vc$ ، مقدار این واکوکی بزرگتر از مقدار  $\delta$  است، و احتمال جذب فوتونها کاهش می‌یابد، زیرا بسامد نوری که باید جذب شود روی منحنی تشدید در نقاط دورتر واقع می‌شود. از طرف دیگر، یک باریکه لیزر دیگر که در جهت منفی  $z$  منتشر می‌شود، واکوکی برابر است با  $\omega_0 + v/c = \omega_0 + \delta$  و در نتیجه بسامد نوری که باید جذب شود به قلة تشدید نزدیکتر است (تشدید در  $|\delta|$  روی می‌دهد). بنابراین، احتمال جذب فوتون بزرگتر است. این نشان می‌دهد نیروی در جهت منفی  $z$  بر اتم وارد می‌شود. اتم فوتون را بازگسیل می‌کند چون وامی پاشد، اما این گسیل در راستای خاصی صورت نمی‌گیرد و به طور متوسط تقارن کروی دارد.<sup>۲</sup> بدین ترتیب، اتم در راستای  $z$  تکانه از دست می‌دهد. اگر سه جفت لیزر باشد یکسان در راستای محورهای  $x$ ,  $y$  و  $z$  در جهتهای مخالف داشته باشیم، تمام درجات آزادی به حساب آورده می‌شوند.

برای اینکه بحث بالا را بیش از این کمی کنیم، نیروی فشار تابشی را که باریکه بر اتم وارد می‌کند محاسبه می‌کنیم. فرض می‌کنیم تنها با دو تراز اتم سروکار داریم. این تقریب خوبی است اگر بسامد میدان الکتریکی نوسانی به بسامد مربوط به برانگیزش از حالت پایه نزدیک باشد. آهنگ جذب تکانهای با بزرگی  $\hbar\omega/c$  عبارت است از

$$R = \frac{2\pi}{\hbar} |\langle \psi | e\mathbf{r} \cdot \mathbf{E} | \psi \rangle|^2 \delta(E_\psi - E_\psi - \hbar\omega) \\ = \frac{2\pi}{\hbar} |\langle \psi | e\mathbf{r} \cdot \mathbf{E} | \psi \rangle|^2 \delta(\omega_0 - \omega) \quad (۲۹-۲۲)$$

که در آن عملگر گشتاور دوقطبی  $e\mathbf{r}$  باعث گذار می‌شود. اکنون باید تابع دلتا را برای منظور کردن پنهانی خط حالت برانگیخته  $(\psi | \text{تغیر دهیم} | \psi)$  و بدین منظور از جانشانی زیر استفاده می‌کنیم (برای توجیه این کار به مبحث ویژه ۳ مراجعه کنید).

$$\pi \delta(\omega_0 - \omega) \rightarrow \frac{R/2}{(\omega_0 - \omega)^2 + R^2/4} \quad (۳۰-۲۲)$$

۲. فرض می‌کنیم شدت باریکه لیزر چندان زیاد نیست، به طوری که برانگیختگی و واپاشی پسین رویدادهایی هستند که کاملاً از هم فاصله دارند. بعداً در این فصل مواردی را خواهیم دید که در آنها دستگاه بین حالت پایه و حالت برانگیخته به سرعت نوسان می‌کند. در این مورد، گسیل با برانگیزش همدوس است، و اطلاعات راستایی از بین نمی‌رود.

که در آن  $R$  آهنگ واپاشی خواسته شده است. این به صورت زیر است

$$F = \frac{\hbar\omega}{c} \frac{2}{\hbar^2} |\langle 1 | e\mathbf{r} \cdot \mathbf{E} | \circ \rangle|^2 \frac{R/2}{(\omega_0 - \omega)^2 + R^2/4} \quad (31-22)$$

اکنون کمیت بی بعد زیر را معرفی می کنیم

$$I = \frac{|\langle 1 | e\mathbf{r} \cdot \mathbf{E} | \circ \rangle|^2}{(\hbar R/2)^2} \quad (32-22)$$

که برسیب آن

$$F = \frac{\hbar\omega}{c} IR \frac{R^2/4}{(\omega_0 - \omega)^2 + R^2/4} \quad (33-22)$$

برای یک میدان ضعیف، یعنی برای مقادیر کوچک  $I$ ، این نیرو بسیار کوچک است. برای میدانهای بسیار شدید، یعنی برای مقادیر بزرگ  $I$ ، واپاشیهای القایی واپاشیهای خودبه خود را تحت الشاعر قرار می دهند، و در این شرایط اتم بین حالت پایه و حالت برانگیخته به سرعت نوسان می کند.<sup>۳</sup> مخصوصاً فوتونهای گسیل شده با فوتونهای جذب شده همدوس هستند، و از این رو اتم در مجموع هیچ تکانهای جذب نمی کند. معلوم می شود که شدت بهینه لیزر به گونه ای است که  $1 \approx I$ .

برای اتنی که در همان جهت باریکه حرکت می کند یک واکوکی انتقال دوپلری اضافی وجود دارد به طوری که

$$F = \frac{\hbar\omega}{c} IR \left[ \frac{R^2/4}{(\omega - \omega_0 - \omega v/c)^2 + R^2/4} \right] \quad (34-22)$$

اکنون اگر یک باریکه موج ایستاده در نظر بگیریم، یا معادل آن یک باریکه لیزر با همان بسامد  $\omega$  که در جهت منفی  $\hat{z}$  انتشار می یابد اضافه کنیم، نیروی در جهت مخالف، با بسامدی که به آبی منتقل شده است یعنی  $(\omega + v/c)$ ، به دست می آوریم. بنابراین، نیروی برایند وارد بر باریکه عبارت است از

$$F_{برایند} = \frac{\hbar\omega IR}{c} \left[ \frac{R^2/4}{(\omega - \omega_0 - \omega v/c)^2 + R^2/4} - \frac{R^2/4}{(\omega - \omega_0 + \omega v/c)^2 + R^2/4} \right]$$

۳. به بخش بعد مراجعه کنید.

$$\begin{aligned} F_{\text{برایند}} &= \hbar\omega IR/c^2 \frac{R^2/4}{(\omega - \omega_0)^2 + R^2/4} \frac{4\omega(\omega - \omega_0)^2}{(\omega - \omega_0)^2 + R^2/4} v \\ &= \frac{\hbar\omega IR}{c^2} \frac{R^2/4}{\delta^2 + R^2/4} \frac{4\omega\delta}{\delta^2 + R^2/4} v \end{aligned} \quad (۳۵-۲۲)$$

از آنجا که  $\delta < 0$ ، یعنی بسامد لیزر انگشتی پایین‌تر از قله تشدید  $\omega$  انتخاب شده است، این نیرو در جهت مخالف  $v$  است، یعنی یک نیروی مالشی به صورت  $-F = -\beta v$  است. این نیرو تابع مقدار واکوکی است، و بیشترین مقدار آن وقتی است که  $dF/d\delta = 0$ ، یعنی وقتی که  $\omega = R/2\sqrt{3}$ . حرکت اتم در هر سه بعد باید کند شود، و برای این منظور از سه جفت لیزر استفاده می‌شود تا محیطی به وجود آید که معمولاً آن را ملاس نوری می‌نامند. بنابراین، بیشینه نیروی مالشی به ازای  $I \approx 1$  عبارت است از

$$F \approx -\sqrt{\frac{27}{4}} \frac{\hbar\omega_0^2}{c^2} v \quad (۳۶-۲۲)$$

به اتمها همچنین یک نیروی کاتورهای نیز وارد می‌شود که ناشی از برخورد های کاتورهای با فوتونهایی است که باریکه لیزر را می‌سازند. بنابراین، اتمها مانند ذراتی رفتار می‌کنند که در یک شاره دارای حرکت براونی هستند. تفصیل فرایند سرد کردن فراتر از اهداف این بحث است، اما پیش‌بینی استدلال نیمه‌کلاسیک بالا این است که اتمها تا دمایی که با رابطه زیر داده می‌شود سرد می‌شوند

$$T = \frac{\hbar\omega}{kc}$$

که در آن  $k$ : ثابت بولتزمن است. به طور کلی، این دما در گستره  $K^{10^{-4}} \times 2 \times 10^{-4}$  است. بررسی عمیقتر جزئیات فرایند، که در آن واگنی ترازهای برانگیخته و قطبش فوتونها به حساب آورده می‌شوند، نشان می‌دهد که باید بتوان اتمها را تا دمایی از مرتبه  $K^{10^{-5}} \times 4$  سرد کرد، که با آنچه از آزمایش به دست آمده است توافق دارد.<sup>۴</sup> در واقع، با پیشرفت‌های اخیر در تکنولوژی سرد کردن لیزری اتمها، دمایی اتمی  $K^{10^{-7}} \times 7$  حاصل شده‌اند. وقتی اتمها تا چنین دمای‌هایی سرد می‌شوند، اندازه‌گیری پهنای خط طبیعی امکان‌پذیر می‌شود، و این تأثیر زیادی بر آزمون پیش‌بینیهای الکترودینامیک کوانتومی دارد.

---

<sup>۴</sup>. برای یک بحث مفصل غیرفنی به مقاله زیر، که مراجعه بسیاری در آن معرفی شده‌اند، مراجعه کنید  
C N Cohen-Tannoudji and W D Phillips in *Phys Today*, 43(10), 33(1990).

اتم دو ترازی در میدان [www.arsapart.com](http://www.arsapart.com) تکنیکی دو حالت اتم مورد نظر را ویژه حالتهای یک هامیلتونی  $H_0$  می‌گیریم:

$$\begin{aligned} H_0 |\phi_1\rangle &= E_1 |\phi_1\rangle \\ H_0 |\phi_0\rangle &= E_0 |\phi_0\rangle \end{aligned} \quad (۳۷-۲۲)$$

فرض می‌کنیم  $E_1 > E_0$ ، و از نمادنگاری

$$\omega_d = (E_1 - E_0)/\hbar \quad (۳۸-۲۲)$$

$|\psi\rangle = |\phi_1\rangle + |\phi_0\rangle$  استفاده خواهیم کرد. اکنون این دستگاه دو ترازی را در یک میدان الکتریکی قرار می‌دهیم. فرض کنید این میدان الکتریکی به اندازه‌ای قوی است که اثرات مرتبه اول و دوم بر حسب  $\mathbf{E}$ ، برخلاف آنچه در بحث اثر اشتارک در فصل ۱۶ دیدیم، برای بررسی دستگاه کافی نیستند. بنابراین، از نظریه اختلال استفاده نخواهیم کرد. در اینجا هامیلتونی به صورت زیر است

$$H = H_0 + V(t) \quad (۳۹-۲۲)$$

که در آن، مانند سابق، داریم

$$V(t) = \frac{e}{mc} \mathbf{A}(\mathbf{r}, t) \cdot \mathbf{p} \quad (۴۰-۲۲)$$

$\mathbf{p}$  عملگر تکانه الکترون است، و در نتیجه

$$\mathbf{p} = \frac{im}{\hbar} [H_0, \mathbf{r}] \quad (۴۱-۲۲)$$

همچنین، از تقریب دوقطبی استفاده می‌کنیم، به طوری که

$$\mathbf{A}(\mathbf{r}, t) = \mathbf{A}_0 e^{-i\omega t} + \mathbf{A}_0^* e^{i\omega t} \quad (۴۲-۲۲)$$

یعنی پتانسیل برداری در پهنه‌ای اتم ثابت است. این پتانسیل را بر حسب میدان الکتریکی می‌نویسیم. از رابطه

$$\mathbf{E} = -\frac{1}{c} \frac{\partial \mathbf{A}}{\partial t} \equiv \mathbf{E}_0 e^{-i\omega t} + \mathbf{E}_0^* e^{i\omega t}$$

نتیجه می‌گیریم که  $\frac{e}{\hbar\omega}(\mathbf{E}_0 e^{-i\omega t} - \mathbf{E}_0^* e^{i\omega t}) \cdot [\mathbf{H}_0, \mathbf{r}] = \frac{e}{\hbar\omega/c} \mathbf{A}$  ۱۰. بنابراین، [www.arsanjan.blogfa.com](http://www.arsanjan.blogfa.com)

$$V(t) = \frac{e}{\hbar\omega} (\mathbf{E}_0 e^{-i\omega t} - \mathbf{E}_0^* e^{i\omega t}) \cdot [\mathbf{H}_0, \mathbf{r}] \quad (43-22)$$

بدین ترتیب، هر عنصر ماتریس عملگر  $V(t)$  به صورت زیر خواهد بود

$$\langle 0 | V(t) | 1 \rangle = \frac{e}{\hbar\omega} (\langle 0 | \mathbf{E}_0 \cdot \mathbf{E}_1 - E_0 \cdot \mathbf{E}_1^* \{ \cdot \mathbf{r} \} | 1 \rangle e^{-i\omega t} - \langle 0 | \mathbf{E}_0^* \cdot \mathbf{r} | 1 \rangle e^{i\omega t}) \quad (44-22)$$

اکنون جواب معادله شرودینگر وابسته به زمان را  $|\psi(t)\rangle$  می‌گیریم. با استفاده از قضیه بسط، مانند فصل ۲۱، می‌نویسیم

$$|\psi(t)\rangle = C_0(t)e^{-iE_0t/\hbar}|0\rangle + C_1(t)e^{-iE_1t/\hbar}|1\rangle \quad (45-22)$$

بنابراین، از

$$i\hbar \frac{d}{dt} |\psi(t)\rangle = (H_0 + V(t)) |\psi(t)\rangle$$

و ۴۵-۲۲، به دست می‌آوریم

$$\begin{aligned} i\hbar \frac{d}{dt} C_0(t) e^{-iE_0t/\hbar} |0\rangle &+ i\hbar \frac{d}{dt} C_1(t) e^{-iE_1t/\hbar} |1\rangle \\ &= V(t) C_0(t) e^{-iE_0t/\hbar} |0\rangle + V(t) C_1(t) e^{-iE_1t/\hbar} |1\rangle \end{aligned}$$

اگر عناصر ماتریس این معادله را به ترتیب با ضرب کردن در  $|0\rangle$  و  $|1\rangle$  به دست آوریم، و با توجه به

$$\langle 0 | \mathbf{r} | 0 \rangle = \langle 1 | \mathbf{r} | 1 \rangle = 0 \quad (46-22)$$

به دو معادله زیر می‌رسیم

$$i\hbar \frac{d}{dt} C_0(t) = C_1(t) e^{-i\omega_d t} \langle 0 | V(t) | 1 \rangle \quad (47-22)$$

و

$$i\hbar \frac{d}{dt} C_1(t) = C_0(t) e^{i\omega_d t} \langle 1 | V(t) | 0 \rangle \quad (48-22)$$

صورت گسترده معادله ۷-۲۲ www.arsanjan.blogfa.com

$$i\hbar \frac{d}{dt} C_{\circ}(t) = \frac{\omega_d}{\omega} C_{\circ}(t) \{ -\langle \circ | e \mathbf{E}_{\circ} \cdot \mathbf{r} | \rangle e^{-i(\omega + \omega_d)t} + \langle \circ | e \mathbf{E}_{\circ}^* \cdot \mathbf{r} | \rangle e^{-i(\omega_d - \omega)t} \}$$

ما با وضعیت‌های فیزیکی کار خواهیم داشت که در آنها  $\omega$  نزدیک به  $\omega_d$  یا برابر با آن است. جمله  $e^{-i(\omega_d + \omega)t}$  بسیار سریع نوسان می‌کند، و با میانگین‌گیری روی زمان سهمی بدست نمی‌دهد. مانند بحث شدید پارامغناطیسی در فصل ۱۴، این‌گونه جمله‌ها را حذف می‌کنیم. این تقریب را غالباً تقریب موج چرخان می‌نامند. پس از حذف، بدست می‌آوریم

$$\begin{aligned} i\hbar \frac{d}{dt} C_{\circ}(t) &= \frac{\omega_d}{\omega} C_{\circ}(t) \langle \circ | e \mathbf{E}_{\circ}^* \cdot \mathbf{r} | \rangle e^{-i(\omega_d - \omega)t} \\ &\equiv \hbar \gamma C_{\circ}(t) e^{-i(\omega_d - \omega)t} \end{aligned} \quad (49-22)$$

که بر حسب پارامتر واکوکی

$$\delta = \omega - \omega_d \quad (50-22)$$

به صورت زیر در می‌آید

$$i\hbar \frac{d}{dt} C_{\circ}(t) = \hbar \gamma C_{\circ}(t) e^{i\delta t} \quad (51-22)$$

با همین تقریب، داریم

$$\begin{aligned} i\hbar \frac{d}{dt} C_{\circ}(t) &= \frac{\omega_d}{\omega} C_{\circ}(t) \langle \circ | e \mathbf{E}_{\circ} \cdot \mathbf{r} | \circ \rangle e^{i(\omega_d - \omega)t} \\ &= \hbar \gamma C_{\circ}(t) e^{-i\delta t} \end{aligned} \quad (52-22)$$

که در آن جمله

$$\gamma = \frac{\omega_d}{\hbar \omega} \langle \circ | e \mathbf{E}_{\circ}^* \cdot \mathbf{r} | \circ \rangle \quad (53-22)$$

را می‌توان حقیقی گرفت. با مشتق‌گیری از ۴۹-۲۲ نسبت به زمان، بدست می‌آوریم

$$\begin{aligned} \frac{d^{\gamma}}{dt^{\gamma}} C_{\circ}(t) &= \gamma \delta C_{\circ}(t) e^{i\delta t} - i\gamma \frac{d}{dt} C_{\circ}(t) e^{i\delta t} \\ &= i\delta \frac{d}{dt} C_{\circ}(t) - \gamma^{\gamma} C_{\circ}(t) \end{aligned} \quad (54-22)$$

$$C_i(t) = e^{-i\Omega t} \quad (55-22)$$

نتیجه می‌گیریم که

$$\Omega^r + \delta\Omega - \gamma^r = 0 \quad (56-22)$$

یا

$$\Omega = \Omega_{\pm} = -\frac{1}{2}\delta \pm \sqrt{\frac{1}{4}\delta^r + \gamma^r} \quad (57-22)$$

بنابراین، جواب عمومی به صورت زیر است

$$C_o(t) = e^{i\delta t/r} (A \cos \sqrt{\delta^r/4 + \gamma^r} t + B \sin \sqrt{\delta^r/4 + \gamma^r} t) \quad (58-22)$$

و

$$\begin{aligned} C_1(t) &= \frac{1}{\gamma} e^{-i\delta t} \frac{d}{dt} C_o(t) \\ &= -e^{-i\delta t/r} \left\{ \frac{\delta}{2\gamma} (A \cos \sqrt{\delta^r/4 + \gamma^r} t + B \sin \sqrt{\delta^r/4 + \gamma^r} t) \right. \\ &\quad \left. - i \frac{\sqrt{\delta^r/4 + \gamma^r}}{\gamma} (A \sin \sqrt{\delta^r/4 + \gamma^r} t - B \cos \sqrt{\delta^r/4 + \gamma^r} t) \right\} \end{aligned} \quad (59-22)$$

اگر دستگاه در  $t = 0$  در حالت  $C_o(0) = 0$  باشد،  $C_1(0) = 0$  و در نتیجه  $A = 0$  و  $B = -i\delta/2\sqrt{\delta^r/4 + \gamma^r}$  (یعنی  $B = (\delta/2)A + i\sqrt{\delta^r/4 + \gamma^r}$ ). بنابراین، در یک زمان بعد داریم

$$\begin{aligned} |C_o(t)|^r &= \cos^r \sqrt{\delta^r/4 + \gamma^r} t + \frac{\delta^r}{\delta^r + 4\gamma^r} \sin^r \sqrt{\delta^r/4 + \gamma^r} t \\ &= 1 - \frac{4\gamma^r}{\delta^r + 4\gamma^r} \sin^r \sqrt{\delta^r/4 + \gamma^r} t \end{aligned} \quad (60-22)$$

در مورد کوک کامل،  $\theta = 0^\circ$ ، [www.arsahjan.blogfa.com](http://www.arsahjan.blogfa.com)

$$|C_0(t)|^2 = \cos^2 \gamma t \quad (61-22)$$

دستگاه با بسامد  $\gamma$  بین دو حالت نوسان می‌کند، و به طور متوسط نیمی از زمان را در حالت بالاتر و نیمی از زمان را در حالت پایینتر می‌گذراند. این بسامد در  $\omega = 0^\circ$ ، یعنی وقتی  $\omega = \omega$ ، برابر باست

$$\gamma = \frac{1}{\hbar} \langle 0 | e \mathbf{E}_0^* \cdot \mathbf{r} | 1 \rangle \quad (62-22)$$

که بسامد رایی نامیده می‌شود. متذکر می‌شویم که  $\mathbf{E}_0^*$  متناسب با  $\mathbf{A}$  است، و از این رو هنگامی که حالت پایینتر  $\langle 0 |$  نیز  $|1\rangle$  فoton با بسامد  $\omega$  داشته باشد آنگاه، بنابراین  $\mathbf{E}_0^*$  متناسب با  $\sqrt{n+1}$  است. بنابراین، می‌توان نوشت

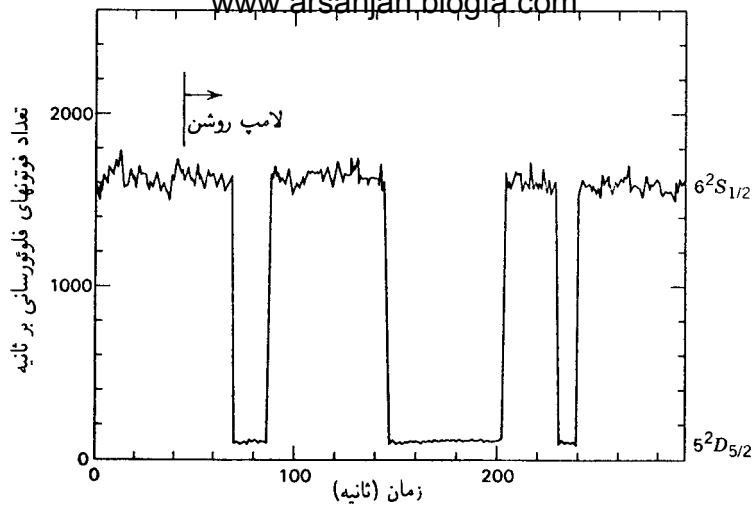
$$\gamma = \sqrt{n+1} \omega \quad (63-22)$$

به آسانی می‌توان نشان داد که اگر حالت اولیه دستگاه  $|1\rangle$  باشد، و این حالت  $|n\rangle$  فoton با بسامد  $\omega$  داشته باشد، آنگاه بسامد  $\gamma$  برابر است با  $\sqrt{n}\gamma$ .

بررسی اتفاهات تک در یک کاواک که در آن تنها یک مد از میدان الکتریکی نوسانی موجود است با اختصار و ساخت دامهای بسامد رادیویی توسط ہ داملت و همکارانش امکانپذیر شده است. نوسانهایی که معادله ۶۱-۲۲ پیش‌بینی می‌کند با آزمایش تأیید شده‌اند.

### مشاهده جهش‌های کوانتومی

اختصار دامهایی که در آنها یونهای تک را بتوان مطالعه کرد روش‌های مختلف روش‌هایی را برای بررسی آنها فراهم می‌آورد. یک نظر ابتکاری را ابتدا ہ داملت مطرح کرد و چند گروه تجربی در دهه گذشته آن را مشاهده کردند. اصول آزمایش را در اینجا بیان می‌کنیم. یک دستگاه سه‌ترازی شامل حالت پایه  $|0\rangle$  و حالت‌های برانگیخته  $|1\rangle$  و  $|2\rangle$  را در نظر بگیرید. گذار بین حالت‌های  $|0\rangle$  و  $|1\rangle$  مجاز است اما گذار بین حالت‌های  $|2\rangle$  و  $|0\rangle$  منوع است (البته نه مطلقاً)، و در نتیجه حالت  $|2\rangle$  شبیه‌پایدار است. با یک چشمۀ شدید نور (لیزر) که برای بسامد زاویه‌ای  $(E_1 - E_0)/\hbar$ ،  $\omega_1$  کوک شده است و همچنین یک چشمۀ ضعیف نور که برای بسامد زاویه‌ای  $(E_2 - E_0)/\hbar$ ،  $\omega_2$  کوک شده است اتم را در معرض تابش قرار می‌دهیم. تعداد گذارهای میان حالت پایه و حالت برانگیخته مجاز بسیار زیاد است. عملاً میدان قوی لیزری الکترون را با آهنگی بسیار تند به حالت  $|1\rangle$  برانگیخته می‌کند، و الکترون نیز با آهنگی بسیار تند به حالت پایه افت می‌کند. بنابراین، یک علامت



شکل ۴-۲۲ رد فلورسانی نوعی که جهش‌های کوانتومی را نشان می‌دهد. در دوره‌های فلورسانی کم، اتم قطعاً در تراز شب‌پایدار است.<sup>۵</sup>

بیوسته نورگسیلیده از اتم مشاهده می‌شود. این دقیقاً نمود نوسان رایی است که در بخش قبل بررسی شد. گاهی لیزر ضعیف الکترون را به حالت  $|2\rangle$  برانگیخته می‌کند. چون الکترون اکنون در یک حالت شب‌پایدار است، افت آن به حالت پایه ممکن است چند ثانیه طول بکشد. در این مدت فلورسانی روی نمی‌دهد، یعنی اتم تاریک است. وقتی الکترون سرانجام به حالت پایه فرو افتاد، میدان لیزري قوی بلافصله آن را به حالت برانگیخته مجاز بر می‌انگیرد، و الکترون به سرعت فرو می‌افتد، و بدین ترتیب باعث تداوم تابش فلورسان می‌شود. فلورسانی عملأً جهش‌های کوانتومی بین حالت پایه و حالت شب‌پایدار را دیدبانی می‌کند (شکل ۴-۲۲).

تحلیل ساده این فرایند به صورت زیر است. فرض کنید  $A_{10}$ ،  $B_{10}$  و  $A_{20}$  و  $B_{20}$  به ترتیب ضرایب اینشتین برای گذارهایی باشند که  $(1, 0)$  و  $(2, 0)$  را به هم مربوط می‌کنند. شرایط مربوط به گذارها ایجاب می‌کنند که  $A_{10} \gg A_{20}$ . اگر چگالیهای انرژی باریکه‌های لیزر به ترتیب  $U_1$  و  $U_2$  باشند، معادله آهنگ احتمال اینکه اتم در حالت برانگیخته  $|1\rangle$  باشد با فرض ناوگنی (و در نتیجه  $1 = g_i$ ) عبارت است از

$$\frac{dP_1}{dt} = -P_1(A_{10} + B_{10}U_1) + B_{10}U_1P_0 \quad (4-22)$$

این معادله اتلاف احتمال ناشی از گسیل خودبه‌خود و القایی و افزایش احتمال به واسطه جذب

۵. اقتباس مجاز از

W Nagourney, J Sandberg and H Dehmelt, *Phys Rev Lett*, **56**, 2797, 1986.

القایی از حالت پایه را توصیف کنید. [www.arsanjani.blogfa.com](http://www.arsanjani.blogfa.com) سمت با  $P_0$  یعنی احتمال اینکه الکترون در حالت پایه باشد. بهمین ترتیب، معادله آهنگ احتمال اینکه اتم در حالت شبے‌پایدار  $|2\rangle$  باشد به صورت زیر است

$$\frac{dP_1}{dt} = -(A_{10} + B_{10}U_1)P_1 + B_{20}U_2P_0 \quad (65-22)$$

مجموع احتمالها برابر با ۱ است:  $1 = P_0 + P_1 + P_2$ . اگر باریکه لیزری که حالت پایه را به حالت برانگیخته  $|1\rangle$  جفت می‌کند شدید باشد آنگاه  $\infty \rightarrow U_1$  و  $P_0 = P_1$ . بنابراین، اگر احتمال برانگیختگی به حالت شبے‌پایدار را با  $P_+$  نشان دهیم ( $P_+ = P_2$ ) و احتمال عدم برانگیختگی به این حالت را با  $P_-$  نشان دهیم ( $P_- = 1 - P_1 = P_0 + P_1$ )، این معادله‌ها منجر می‌شوند به

$$\frac{dP_+}{dt} = -R_-P_+ + R_+P_- \quad (66-22)$$

که در آن

$$\begin{aligned} R_+ &= \frac{1}{2}B_{20}U_2 \\ R_- &= A_{10} + B_{10}U_1 \end{aligned} \quad (67-22)$$

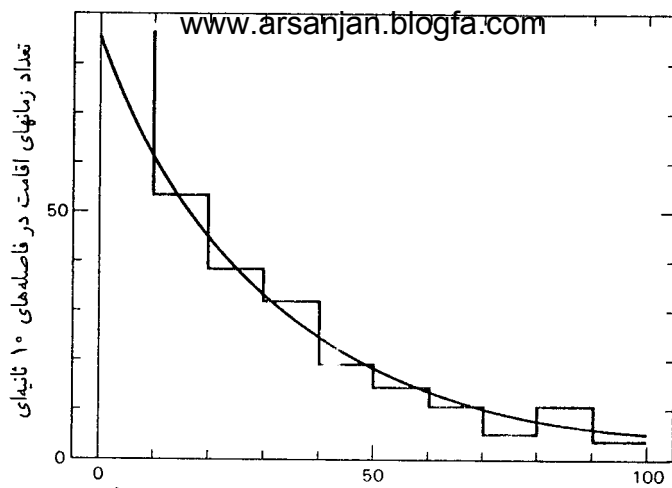
معادله

$$\frac{dP_-}{dt} = R_-P_+ - R_+P_- \quad (68-22)$$

خودبه‌خود با توجه به  $1 = P_+ + P_-$  بدست می‌آید. می‌توان این معادله‌ها را نمایش‌گر یک دستگاه دوترازی دانست که در آن آهنگ گذار به بالا  $R_+$  و آهنگ گذار به پایین  $R_-$  است. کمیتهایی که به لحظه تجربی اهمیت دارند این احتمالها هستند که در بازه زمانی  $t$  تا  $t+T$  هیچ گذاری روی ندهد و در انتهای این بازه الکترون به حالت برانگیخته برود ( $P_+$ ) یا به حالت پایه ( $P_-$ ). با کمی اندیشه می‌توان نتیجه گرفت که اگر آزمایش شروع شود و شدت باریکه لیزر مستقل از زمان باشد، این احتمالها فقط تابع طول بازه زمانی  $T$  هستند. معادله‌های آهنگ این احتمالها را می‌توان به صورت زیر نوشت

$$\frac{dP_{+0}}{dT} = -R_-P_{+0} \quad (69-22)$$

$$\frac{dP_{-0}}{dT} = -R_+P_{-0} \quad (70-22)$$

شکل ۵-۲۲ زمان اقامت در تراز شبپایدار (برحسب ثانیه).<sup>۶</sup>

”شرایط اولیه“ برای این معادله‌ها ایجاب می‌کنند که  $P_{\pm}(T = 0) = 0$ . فرض کنید شدت فلوئورسانی در زمانی مانند  $t$  قطع شود. این زمان را به‌گونه‌ای انتخاب می‌کنیم که  $T = 0$ ، و در نتیجه  $P_+(T = 0) = P_-(T = 0)$ . جواب معادله با این شرط اولیه به صورت زیر است

$$P_+(T) = e^{-R_- T} \quad (71-22)$$

این احتمال آن است که پس از زمان  $T$  علامت هنوز ”قطع“ باشد. به‌همین ترتیب، می‌توان نشان داد که پس از برقرار شدن فلوئورسانی احتمال اینکه پس از بازه زمان  $T$  هنوز برقرار باشد به صورت زیر است

$$P_-(T) = e^{-R_+ T} \quad (72-22)$$

از تحلیل آماری توزیع زمانهای برقراری و قطع، مانند آنچه در شکل ۵-۲۲ نشان داده شده است، می‌توان برای اندازه‌گیری  $A_2$  استفاده کرد. برای حالت‌هایی که عمر بسیار درازی دارند، اندازه‌گیری مستقیم  $A_2$  بسیار مشکل است، زیرا آهنگ گسیل فوتونها بسیار کوچک است، و فوتونها می‌توانند در همه راستاهای گسیل شوند، و در نتیجه شمارش آنها فرایند بسیار کندی است.

باید توجه کرد که در مکانیک کوانتومی معمولاً با مجموعه آماری بزرگی از دستگاه‌های یکسان سروکار داریم. در این مورد، یک اتم منفرد را بررسی می‌کنیم و به جای مجموعه آماری این عضو

۶. اقتباس مجاز از

W Nagourney, J Sandberg, and H Dehmelt, *Phys Rev Lett*, **56**, 2297(1986), by permission.

مجموعه آماری را با شرایط اولیه  $\omega_0 = 10^6 \text{ rad/s}$  و قیمتی تابش به پیوستاری از  $\omega = 10^4 \text{ rad/s}$  حالتها گسیل می‌شود به طور کلی این کار امکان‌پذیر نیست، اما برای مورد خاص میدان الکتریکی تک‌مد امکان‌پذیر است.

### اثر موسیاور

یک اتم (یا هر دستگاه کوانتومی دیگر) می‌تواند مانند یک ساعت دقیق کار کند، زیرا گذارهای آن را تابش‌های اعلام می‌کنند که بسامدهای کاملاً معینی دارند. اگر پهنه‌ای طبیعی خط تنها محدودیت موجود بود، می‌توانستیم به دقت بسیار زیادی دست یابیم.

متاسفانه، چنانکه در بحث سرد کردن اتمها گفته شد، حرکت اتمها باعث پهن شدن دوبلری خط می‌شود. شاید فکر کنید استفاده از یک چشممه مایع یا جامد می‌تواند این اثر را حذف کند، اما آنگاه پهن شدن ناشی از تأثیر اتمهای مجاور به همان اندازه مضر خواهد بود. گذارهای هسته‌ای را در نظر می‌گیریم. هسته‌ای مانند  $^{191}\text{Ir}^{77}$  یک پرتو  $\gamma$  با انرژی از مرتبه  $10^0 \text{ keV}$ ، با طول عمر  $10^{-10} \text{ s}$ ، گسیل می‌کند. در این مورد،

$$\frac{\Delta\omega}{\omega} = \frac{\Delta E}{E} = \frac{\hbar/\tau}{E} \cong \frac{10^{-27}/10^{-10}}{10^5 \times 10^{-12}} \cong 10^{-10} \times 10^{-6} \text{ rad} \quad (73-22)$$

متاسفانه یک جایه‌جایی خط ناشی از پس‌زنی وجود دارد. پرتو  $\gamma$  حامل تکانه  $\hbar\omega$  است، و هسته برای پایستگی تکانه باید با همین تکانه پس بزند. این پس‌زنن با انرژی پس‌زنی

$$\Delta E = \frac{P_{\text{پس‌زنی}}^2}{2M} = \frac{1}{2M} \left( \frac{\hbar\omega}{c} \right)^2 \quad (74-22)$$

و در نتیجه با کاهش انرژی تابش شده همراه است. تغییر نسبی بسامد برابر است با

$$\frac{\Delta E}{\hbar\omega} \cong \frac{\hbar\omega}{2Mc^2} \cong \frac{10^{-1}(\text{MeV})}{2 \times 940 \times 191(\text{MeV})} \cong 3 \times 10^{-4} \quad (75-22)$$

مشاهده تابشی با این انرژی را نمی‌توان با روش‌های مرسوم، اگرچه بسیار دقیق‌اند، انجام داد بلکه باید از آشکارسازی استفاده کرد که دقیقاً برای این تابش "کوک" شده باشد. این کار به بهترین نحو با استفاده از همان ماده گسیلنده (مثالاً  $^{191}\text{Ir}^{77}$ ) به عنوان جاذب تابش صورت می‌گیرد. جذب در بسامد "تشدید" که در آن تابش گسیل شده است به مقدار بسیار زیادی تقویت می‌شود، اما در اینجا نیز جایه‌جایی پس‌زنی وجود خواهد داشت. بنابراین، جایه‌جایی کل برابر است با  $3 \times 10^{-4} \text{ s/s}^2$ . بدین ترتیب، این "کوک دقیق" کارایی ندارد، زیرا خط به اندازه‌ای بیشتر

از پهنهای خود، که از مرتبه  $\omega$  است، جابه‌جا می‌شود. می‌توان این پس زدن را با حرکت دادن گسیلنده با سرعت پس زنی جبران کرد. این سرعت از رابطه زیر به دست می‌آید

$$\frac{v}{c} = \frac{P_{\text{پس زنی}}}{Mc} = \frac{\hbar\omega/c}{Mc} = \frac{\hbar\omega}{2Mc^2} \simeq 6 \times 10^{-4} \quad (76-22)$$

یعنی  $10^4 \text{ cm/s} = v$ . این مقدار نشان‌دهنده مشکلات فنی است، اما با یک دستگاه فرامرزک‌گریز تحقق یافته است.

یک پیشرفت بزرگ با کشف موسیاژ در سال ۱۹۵۸ روی داد: در شرایط خاصی احتمال زیادی برای گسیل بدون پس زنی وجود دارد. البته گسیل همیشه با پس زدن همراه است، اما به جای هسته قسمت بزرگی از بلور که هسته در آن قرار دارد پس می‌زند. چون جرم بلور  $10^{22}$  بار بیشتر از جرم هسته است، انرژی پس زنی کاملاً قابل چشمپوشی است. برای اینکه درکی شهودی از آنچه روی می‌دهد به دست آوریم، فرض می‌کنیم هسته در یک چاه نوسانگر هماهنگ، با بسامد مشخصه  $\omega$ ، حرکت می‌کند. ترازهای نوسانگر عبارت‌اند از

$$E_n = \hbar\omega_0 \left( n_x + n_y + n_z + \frac{3}{2} \right) \quad (77-22)$$

این چاه هماهنگ در واقع یک توصیف تقریبی از نیروهای بلوری می‌است که خواص شبکه را تعیین می‌کنند. اگر نیروهایی که هسته را به همسایه‌هایش می‌پیوندد قوی باشند—اگر "فنرها" سفت باشند—آنگاه  $\omega$  بزرگ است؛ اگر "فنرها" نرم باشند،  $\omega$  کوچک است. فاصله ترازها برای "فنر سفت" زیاد است، یعنی چگالی حالت‌های آن کوچک است، در حالی که چگالی حالت برای "فنر نرم" بزرگ است. اکنون به بررسی عنصر ماتریس مربوط به گذار از حالت هسته‌ای  $(r_1, r_2, \dots, r_N)$  به حالت هسته‌ای  $(r_1, r_2, \dots, r_i, \dots, r_N)$  می‌پردازیم، و برهمکنش را به صورت

$$-\frac{e}{Mc} \sum_{\text{پرتوها}} \mathbf{p}_k \cdot \mathbf{A}_k(\mathbf{r}_k, t) \quad (78-22)$$

می‌گیریم. عنصر ماتریس مزبور متناسب است با

$$-\frac{e}{Mc} \int \cdots \int d^3\mathbf{r}_1, \dots, d^3\mathbf{r}_N \Psi_f^*(\mathbf{r}_1, \dots, \mathbf{r}_N) \sum_k \epsilon \cdot \mathbf{p}_k e^{-i\mathbf{k} \cdot \mathbf{r}_k} \Psi_i(\mathbf{r}_1, \dots, \mathbf{r}_N) \quad (79-22)$$

اگر مختصه مرکز جرم  $i$  را وارد کنیم آنگاه (الف) جمله برهمکنش به صورت

زیر درمی آید

www.arsanjan.blogfa.com

$$-\frac{e}{Mc} e^{-i\mathbf{k}\cdot\mathbf{R}} \sum_{\text{پروتونها}} \epsilon \cdot \mathbf{p}_k e^{-i\mathbf{k}\cdot\rho_k} \quad (80-22)$$

که در آن  $\mathbf{r}_i = \mathbf{r}_i - \mathbf{R}$ ، و (ب) تابع موج هسته به حاصلضربی که حرکت داخلی و حرکت مرکز جرم هسته را در پتانسیل هماهنگ توصیف می‌کند تجزیه می‌شود:

$$\Psi(\mathbf{r}_1, \dots, \mathbf{r}_N) = \psi_{n_x n_y n_z}(\mathbf{R}) \phi(\rho_1, \dots, \rho_{N-1}) \quad (81-22)$$

با جاگذاری در ۷۹-۲۲ به دست می‌آوریم

$$-\frac{e}{Mc} \int d^r \mathbf{R} \psi_{nf}^*(\mathbf{R}) e^{-i\mathbf{k}\cdot\mathbf{R}} \psi_{ni}(\mathbf{R}) \\ \times \int d^r \rho_1, \dots, d^r \rho_{N-1} \phi_f^*(\rho_1, \dots, \rho_{N-1}) \sum_{\text{پروتونها}} \epsilon \cdot \mathbf{p}_k e^{-i\mathbf{k}\cdot\rho_k} \phi_i(\rho_1, \dots, \rho_{N-1}) \quad (82-22)$$

بنابراین، می‌توان عنصر ماتریس را به صورت زیر نوشت

$$M = M_{\text{داخلی}} \int d^r \mathbf{R} \psi_{nf}^*(\mathbf{R}) e^{-i\mathbf{k}\cdot\mathbf{R}} \psi_n(\mathbf{R}) \quad (83-22)$$

که در آن قرار داده ایم  $n_i$ ، زیرا هسته در ابتدا در حالت پایه شبکه است. احتمال اینکه گذار تابشی هسته را در حالت پایه شبکه باقی بگذارد عبارت است از

$$P_n(k) = \frac{|M_{\text{داخلی}}|^2 \left| \int d^r \mathbf{R} \psi_n^*(\mathbf{R}) e^{-i\mathbf{k}\cdot\mathbf{R}} \psi_n(\mathbf{R}) \right|^2}{|M_{nf}|^2 \sigma_{nf} \left| \int d^r \mathbf{R} \psi_{nf}^*(\mathbf{R}) e^{-i\mathbf{k}\cdot\mathbf{R}} \psi_n(\mathbf{R}) \right|^2} \\ = \left| \int d^r \mathbf{R} \psi_n^*(\mathbf{R}) e^{-i\mathbf{k}\cdot\mathbf{R}} \psi_n(\mathbf{R}) \right|^2 \quad (84-22)$$

که در آن حاصل جمع در مخرج کسر را، با استفاده از رابطه کاملیت، برابر با ۱ قرار داده ایم.<sup>۷</sup> برای

۷. اثبات صوری از همه سریعتر است. داریم

$$\sum_{nf} |\langle n_f | e^{i\mathbf{k}\cdot\mathbf{R}} | \circ \rangle|^2 = \sum_{nf} \langle \circ | e^{-i\mathbf{k}\cdot\mathbf{R}} | n_f \rangle \langle n_f | e^{i\mathbf{k}\cdot\mathbf{R}} | \circ \rangle$$

$$\langle \circ | e^{-i\mathbf{k}\cdot\mathbf{R}} e^{i\mathbf{k}\cdot\mathbf{R}} | \circ \rangle = 1 . \text{ به دست می‌آوریم } 1 = \sum |n_f\rangle \langle n_f|$$

محاسبه این احتمال، از تابع موج حالت پایه بهنجار سده بوسانگر استفاده می‌کنیم. در فصل ۷ برای تابع موج حالت پایه یک بعدی بدست آوردیم [www.arsanjan.blogfa.com](http://www.arsanjan.blogfa.com)

$$\psi_0(x) = \left(\frac{m\omega_0}{\pi\hbar}\right)^{1/4} e^{-m\omega_0 x^2/2\hbar}$$

بنابراین، در سه بعد داریم

$$\psi_0(R) = \psi_0(x)\psi_0(y)\psi_0(z) = \left(\frac{m\omega_0}{\pi\hbar}\right)^{3/4} e^{-m\omega_0 R^2/2\hbar} \quad (85-22)$$

پس باید کمیت زیر را محاسبه کنیم

$$\left| \left(\frac{M_N\omega_0}{\pi\hbar}\right)^{3/2} \int d^3R e^{-M_N\omega_0 R^2/\hbar} e^{-ik \cdot R} \right|^2$$

که در آن  $M_N$  جرم هسته است. می‌نویسیم

$$\begin{aligned} P_0 &= \left(\frac{M_N\omega_0}{\pi\hbar}\right)^3 \left| \int d^3R e^{-(M_N\omega_0/\hbar[R+ik(\hbar/2M_N\omega_0)]^2)} e^{-k^2\hbar/4M_N\omega_0} \right|^2 \\ &= e^{-\hbar k^2/2M_N\hbar\omega_0} \\ &\quad \text{(فاصله تراز)/( انرژی پس زنی)} \\ &= e^{-\hbar k^2/2M_N\hbar\omega_0} \end{aligned} \quad (86-22)$$

زیرا  $\hbar k = \hbar\omega_0$ ، و  $\hbar\omega_0$  فاصله تراز در شبکه است. بنابراین، اگر فاصله تراز بزرگ باشد، یعنی یک فنر سفت داشته باشیم، گسیل بدون پس زنی محتمل تر می‌شود. الگویی که در اینجا برای شبکه بهکار بردیم، که در آن هر هسته در پتانسیل هماهنگ خودش حرکت می‌کند، الگوی شبکه اینشتین است، و بسامد  $\omega_D$  بسامد  $\omega$  است، و این رو باید به جای  $\omega$  در واقع  $\omega_D$  را بهکار می‌بردیم، که رابطه آن با دمای  $T_D$  به صورت زیر است

$$\hbar\omega_D = kT_D \quad (87-22)$$

یک بررسی دقیقتر با استفاده از الگوی دمی برای توصیف شبکه تنها نما را به اندازه ضریب  $3/2$  تغییر می‌دهد.

کاملاً درست نیست که بتوانیم [www.sanjanblogfa.com](http://www.sanjanblogfa.com) این است که در یک زمان  $\tau$  برابر با طول عمر گذار ( $s^{-7} \times 10^4$  برای  $Fe^{57}$ ) تنها یک ناحیه از بلور با اندازه زیر پس زنی را جذب می‌کند.

$$L = v_s \tau$$

که در آن  $v_s$  سرعت انتشار آشفتگی (یعنی سرعت صوت) در شبکه است. اما باور دrstی از  $v_s$  از رابطه زیر بدست می‌آید

$$v_s \simeq \frac{a\omega_D}{2\pi}$$

که در آن  $a$  ثابت شبکه است. بنابراین،

$$\frac{L}{a} \simeq \frac{\omega_D \tau}{2\pi}$$

و با  $10^{12}s \simeq \tau$ ، تعداد هسته‌های جذب‌کننده پس زنی، که از مرتبه  $(L/a)^3$  است، باز هم بسیار زیاد است.

با استفاده از برآوردهای بالا، همراه با رابطه عدم قطعیت، می‌توان نشان داد که نمی‌توان تعیین کرد که این یک هسته منفرد است که "واقعاً" پس می‌زند یا نه؟ برای اندازه‌گیری انرژی پس زنی  $\hbar^2 k^2 / 2M_N$  به زمانی از مرتبه زیر احتیاج داریم

$$\Delta t \gg \frac{\hbar}{(\hbar^2 k^2 / 2M_N)}$$

شرط روی دادن اثر موسیأور این است که

$$\frac{\hbar^2 k^2}{2M_N} < \hbar\omega_D$$

در نتیجه، بدست می‌آوریم

$$\Delta t \gg \frac{1}{\omega_D}$$

$$d \simeq v_s \Delta t \sim \frac{a \omega_D}{2\pi} \Delta t \gg \frac{a}{2\pi}$$

که چندین هسته را دربرمی‌گیرد.

این سوال پیش می‌آید که چگونه با استفاده از حالت‌های انرژی هسته در شبکه بلور می‌توان مسئله پس‌زنی و پایستگی تکانه را حل کرد؟ در کجا این رهیافت گفته می‌شود که بلور تکانه را جذب می‌کند؟ جواب کوانتو-مکانیکی این است که اگر بخواهیم درباره تکانه صحبت کنیم باید در نمایش تکانه کار کنیم. اما این روش پیچیده است، زیرا توصیف نیروهای بلور در این نمایش مشکل است. آنچه باید انجام داد تجزیه حرکت بلور—بلور در واقع تعدادی نوسانگر است که "فترهای" هر یک از آنها همسایگان مجاورش هستند—به مدهای بهنجار و کوانتیده کردن اینهاست. کوانتمهای حرکت شبکه، مانسته‌های فوتون، را فونون می‌نامند. بنابراین، گسیل بدون پس‌زنی به معنای گذاری است که در آن فونون گسیل نمی‌شود. فرمول حاصل بسیار شبیه به  $86 - 22$  است. در این شرایط، پهن‌شدگی ناشی از پس‌زنی در مقایسه با پهنای طبیعی خط بینهایت کوچک است. باز هم یک پهن‌شدگی دویلری ناشی از حرکت گرمایی وجود خواهد داشت، اما این مشکل را می‌توان با سرد کردن گسیلنده و جاذب چاره کرد.

گسیلندهای بدون پس‌زنی یک ساعت عالی در اختیار ما می‌گذارند، و تحقیقات با استفاده از اثر موسیباؤر در سیاره‌ها، مانند فیزیک حالت جامد و شیمی، صورت می‌گیرند. در اینجا تنها یک کاربرد، اندازه‌گیری زمینی انتقال به سرخ‌گرانشی، را بیان می‌کنیم. بنابر اصل همارزی، اگر فوتونی به اندازه  $x$  سقوط کند، انتقال بسامد آن عبارت است از

$$\frac{\Delta\omega}{\omega} = \frac{g_r}{c^2} \quad (88-22)$$

این انتقال را می‌توان با پس‌زنی جاذب با سرعت  $v$ ، که از رابطه زیر تعیین می‌شود، جبران کرد

$$v^2 = 2g_r c \quad (89-22)$$

(اگر فوتون و جاذب با هم سقوط آزاد می‌کردند، جذب تشدیدی روی می‌داد). اگر جاذب یا چشمی را به نوسان سریع درآوریم—با استفاده از یک مبدل—و منحنی جذب را به این نوسانها ارتباط دهیم، می‌توانیم انتقال گرانشی را وارسی کنیم. چون سرعت، برای فاصله  $x = 20\text{ m}$  از مرتبه  $20\text{ m/s}$  است، این آزمایش شدنی است، و چندین گروه آن را انجام داده‌اند. با توجه به خطاهای آزمایش، این اثر تأیید شده است. به عنوان مثال، برای  $\text{Fe}^{57}$  انتقال پیش‌بینی شده برابر است با  $10^{-15} \times 4.92 \times \omega/\omega_m$ ، و مقدار تجربی که پوند و ربکا به دست آورده‌اند

<sup>۱۵</sup>  $(51 \pm 13) \text{ ر}^{\circ}$  از Fe<sup>۵۷</sup> واقع بر یک میزجه چرخان اندازه‌گیری شده است باز هم نتایجی در تأیید اصل همارزی به دست داده است.

### مراجع

بحث مناسبی درباره نظریه کوانتومی نور، با کاربرد آن در لیزرهای را می‌توان در کتاب زیر یافت  
R Loudon, *The Quantum Theory of Light*, Clarendon Press, Oxford, 1986.

برای مبحث اثر موسیاژر مراجعه کنید به

H Lipkin, *Quantum Mechanics-New Approaches to Selected Topics*, North-Holland, Amsterdam, 1973.

# ۳۳

## نظریه برخورد

کاوش در ساختار اتمی و مولکولی تا حد زیادی از طریق طیف نمایی انجام شده است. اگر بخواهیم نیروهای هسته‌ای و قانونهای حاکم بر برهم‌کنشهای ذرات بنیادی را درک کنیم، تنها روش موجود استفاده از پراکندگی ذرات گوناگون از هدفهای مختلف است. بهیک معنا، طیف نمایی نیز صورتی از "پراکندگی" است. اتم در حالت پایه با پرتایه‌ای (که می‌تواند الکترون در لامپ تخلیه باشد) یا با برخورد با ذرات دیگر هدف (متلاً در گرم کردن گاز) برانگیخته می‌شود، و سپس با بازگشت اتم به حالت پایه یا افت آن به یک حالت برانگیخته دیگر یک فوتون خروجی مشاهده می‌شود. معمولاً این فرایندها را "برخورد" نمی‌نامیم زیرا اتم ترازهای انرژی کاملاً معینی دارد که برای زمانهای بسیار طولانیتر از زمان برخورد در آنها توقف می‌کند<sup>۱</sup>، و در نتیجه می‌توان "وایپاشی" را از فرایند برانگیزش تمایز کرد. مخصوصاً، مشخصه‌های واپاشی به مد خاص برانگیختگی حساس نیستند. هسته و ذرات بنیادی نیز دارای ترازهای انرژی هستند، اما معمولاً طول عمر آنها به اندازه کافی زیاد نیست که بتوان تدقیک به برانگیختگی و واپاشی را تضمین کرد، به خصوص چون همراه با پراکندگی "شدیدی" یک پراکندگی غیرتشدیدی "زمینه" نیز وجود دارد، و جدا کردن این دو از هم گاهی پیچیده است. بنابراین، در این فصل فرایند را به طور کلی بررسی خواهیم کرد.

۱. یادآوری می‌کنیم که طول عمر حالت  $p$  در هیدروژن  $s^{-1} \times 10^6 \times 10^{-17}$  است، که در مقایسه با زمان مشخصه  $a/c \times 2 \times 10^{-17}$  بسیار بزرگ است.

## سطح مقطع برخورد [www.arsanjan.blogfa.com](http://www.arsanjan.blogfa.com)

بهترین راه بررسی پراکندگی فرمولیندی کردن معادله‌هایی است که آنچه را روی می‌دهد به دقت توصیف کنند: یک ذره فرودی که با یک بسته موج توصیف می‌شود به هدف نزدیک می‌شود. این بسته موج باید از لحاظ فضایی بزرگ باشد، و از این‌رو در طی آزمایش به طور محسوسی پخش نمی‌شود، و باید در مقایسه با ذره هدف بزرگ‌اما در مقایسه با ابعاد آزمایشگاه کوچک باشد، یعنی نباید هدف و آشکارساز را به‌طور همزمان بیوشاند. در واقع، اندازه‌های جانبی را پنهانی باریکه در شتابدهنده تعیین می‌کند. سپس برهم‌کنش با هدف روی می‌دهد، و در نهایت دو بسته موج خواهیم دید: یکی همچنان در جهت جلو حرکت می‌کند و قسمت ناپراکنده باریکه را نشان می‌دهد، و دیگری که تحت یک زاویه دور می‌شود نمایشگر ذرات پراکنده است. تعداد ذراتی که به‌ازای واحد شار فرودی در واحد زمان به درون یک زاویه فضایی پراکنده می‌شوند بنایه تعریف سطح مقطع دیفرانسیلی پراکنده است. این رهیافت را مستقیماً به‌کارنمی‌بریم<sup>۱</sup>، و بهجای آن از بعضی از مطالب فصل ۱۰ برای تعیین سطح مقطع دیفرانسیلی استفاده خواهیم کرد. اما به هنگام تعبیر نتایج صوری مفهوم بسته موج را در نظر خواهیم داشت.

در بحث جوابهای پیوستاری معادله شرودینگر در فصل ۱۰ نتیجه گرفتیم که (الف) جواب معادله شرودینگر در غیاب پتانسیل به صورت موج تخت  $e^{ik \cdot r}$  است که شار زیر را توصیف می‌کند

$$\mathbf{j} = \frac{\hbar}{2im} (\psi^* \nabla \psi - \psi \nabla \psi^*) = \frac{\hbar k}{m} \quad (1-23)$$

اگر راستای  $k$  را محور  $\hat{z}$  بگیریم، می‌توانیم رفتار این جواب به‌ازای مقادیر بزرگ  $r$  را به صورت مجموعی از امواج کروی ورودی و خروجی بنویسیم (به ۷۲-۱۰ مراجعه کنید):

$$e^{ik \cdot r} \Rightarrow \frac{i}{2k} \sum_{l=0}^{\infty} (2l+1) i^l \left[ \frac{e^{-i(kr-l\pi/2)}}{r} - \frac{e^{i(kr-l\pi/2)}}{r} \right] P_l(\cos \theta) \quad (2-23)$$

(ب) پایستگی ذرات به این نتیجه منجر می‌شود که وجود یک پتانسیل شعاعی تنها می‌تواند  $e^{ik \cdot r}$  را به تابعی تغییر دهد که صورت مجانبی آن عبارت است از

$$\psi(\mathbf{r}) \Rightarrow \frac{i}{2k} \sum_{l=0}^{\infty} (2l+1) i^l \left[ \frac{e^{-i(kr-l\pi/2)}}{r} - S_l(k) \frac{e^{i(kr-l\pi/2)}}{r} \right] P_l(\cos \theta) \quad (3-23)$$

۲. برای ملاحظه بحث جالبی با استفاده از این رهیافت به مقاله زیر، که از لحاظ ریاضی در سطح این کتاب است، مراجعه کنید:

$$|S_l(k)| = 1 \quad (4-23)$$

صورت مجانبی ۳-۲۳ را می‌توان با استفاده از ۲-۲۳ تبدیل کرد به

$$\psi(r) \Rightarrow e^{ik \cdot r} + \left[ \sum_{l=0}^{\infty} (2l+1) \frac{S_l(k) - 1}{2ik} P_l(\cos \theta) \right] \frac{e^{ikr}}{r} \quad (5-23)$$

که یک موج تخت به علاوه یک موج کروی خروجی را نان می‌دهد. توجه کنید که با معادله عملاً تکذرهای شرودینگر کارمی‌کنیم، و در نتیجه  $m$  جرم کاهیده است و  $\theta$  عبارت است از زاویه، در دستگاه مرکز جرم، میان راستای  $k$  (محور  $z$ ) و نقطه مجانبی  $r$  که شمارشگر احتمالاً در آنجا قرار داده می‌شود. وقتی هدف بسیار سنگینتر از پرتابه است، تفاوتی میان زاویه آزمایشگاه و زاویه مرکز جرم وجود ندارد. همچنین توجه کنید که می‌توانستیم جوابی به صورت یک موج تخت به علاوه یک موج کروی ورودی بسازیم، زیرا می‌توان جملة اول در ۳-۲۳ را با ضریبی که در ۴-۲۳ صدق کند تعییر داد. اما جوابی که پراکنده‌گی را توصیف می‌کند باید شامل موج خروجی باشد. اکنون شار مربوط به جواب مجانبی ۵-۲۳ را محاسبه می‌کنیم. می‌نویسیم

$$j = \frac{\hbar}{2im} \left\{ \left[ e^{ik \cdot r} + f(\theta) \frac{e^{ikr}}{r} \right]^* \nabla \left[ e^{ik \cdot r} + f(\theta) \frac{e^{ikr}}{r} \right] - \text{همیغ مختلط} \right\} \quad (6-23)$$

$f(\theta)$  در این رابطه عبارت است از

$$f(\theta) = \sum_{l=0}^{\infty} (2l+1) f_l(k) P_l(\cos \theta) \quad (7-23)$$

که در آن

$$f_l(k) = [S_l(k) - 1]/2ik \quad (8-23)$$

---

۳. بحث پس از ۸۹-۱۰ را ببینید.  $S_l(k)$  نمادنگاری متعارف برای  $e^{2i\beta_l(k)}$  است که در ۸۸-۱۰ تعریف شده است.